

Enkele aspecten van
een zelfvarend schip
in een kanaal

J.H.de Reus

R 1970-1-H

Vloeistofmechanica
Afd. Weg- en Waterbouwkunde
Technische Hogeschool Delft

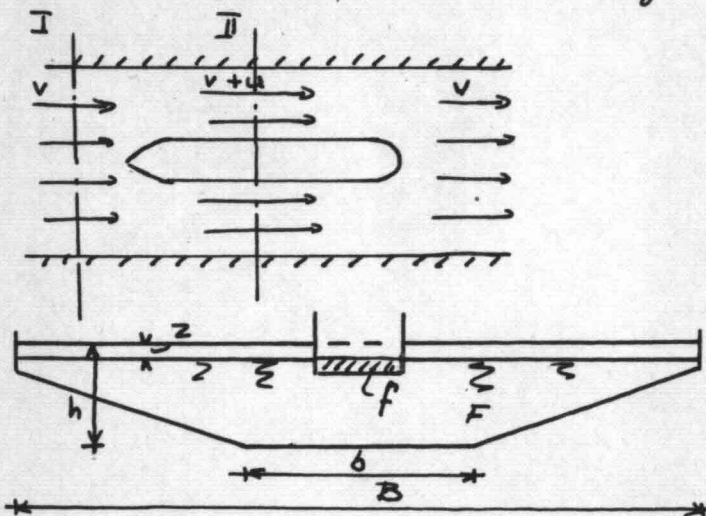
Hoofdstuk I.

Bestaannde gegevens.

Bekend is de theorie die Ir. Schijf in 1949 ontwikkeld heeft. Bij deze theorie wordt als vereenvoudiging het volgende aangenomen:

- a) De retourstroem is gelijkmatig verdeeld over het dwarsprofiel.
- b) De spiegelvaling is constant over de kanaalbreedte.
- c) Het schip ter plaatse van het grootspant de spiegelvaling volgt.
- d) Wrijving en turbulentie te verwaarlozen zijn.

Wanneer het schip met constante snelheid vaart en men te doen heeft met een kanaal waarvan de afmetingen en waterstand constant zijn, dan heeft men te doen met een permanente stroom, als de beweging ten opzichte van het schip beschouwd wordt. (Assenkruis beweegt met het schip mee.)



v = vaarsnelheid
schip.

u = snelheid retourstroem

F = dwarsprofiel van het kanaal

f = opeenlak ondergedompelde deel van het grootspant van het schip

Z = spiegelalting

B = kanaalbreedte

b = bodembreedte

$h = F/B = \text{gemiddelde diepte}$

Continuïteit voor waarde:

$$Q_I = Q_{II}$$

$$v \cdot F = (v+u)(F - B \cdot z - f). \dots \dots \quad (a)$$

Bewegingsvergelijking:

Doordat wrigging en turbulentie verwaarloosd worden en de beweging ten opzichte van het schip bekijken wordt (permanente beweging), mag de vergelijking van Bernoulli toegepast worden.

$$\frac{p_1}{\rho g} + z_1 + \frac{v^2}{2g} = \frac{p_2}{\rho g} + z_2 + \frac{(v+u)^2}{2g}$$

Bekijkt men een punt aan het oppervlak dan is
 $p_1 = p_2 = 0$

$$z_1 = h \text{ en } z_2 = h - z$$

$$h + \frac{v^2}{2g} = h - z + \frac{(v+u)^2}{2g}$$

$$z = \frac{(v+u)^2}{2g} - \frac{v^2}{2g} \dots \dots \quad (b)$$

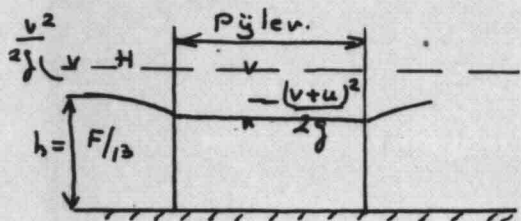
Bij een gegeven kanaal, schip en vaarsnelheid van dat schip zijn f, v, F en B bekende grootten.

Twee onbekenden u en z volgen over, maar deze twee zijn uit alle vergelijkingen (a) en (b) op te lossen.

In Schijf kwam tot de principiële ontdekking n.m.l. het bestaan van de zogenoemde natuurlijke

grenssnelheid. De natuurlijke grenssnelheid wil zeggen dat bij een bepaalde verhouding oppervlak schip tot oppervlak kanaal (f/F) een schip een maximale vaarsnelheid heeft. Onderhavig van het motorvermogen van het schip heeft geen grotere vaarsnelheid ten gevolg, maar het meerdere vermogen geeft grotere golfforming.

Physische is deze grens te verklaren door een schip, varend in stilwater, te vergelijken met een pylon in stromend water.



Zonder opstuwing heeft het debiet een max. waarde als naast de pylon de watersnelheid gelijk is aan de

grenssnelheid van het water (overgang tussen stromend - en schietend water).

$$\frac{(v+u)^2}{2g} = \frac{1}{3}H = \frac{1}{3}\left(h + \frac{v^2}{2g}\right)$$

De continuïteitsvergelijking is $z = \frac{(v+u)^2}{2g} - \frac{v^2}{2g}$.

Door z te elimineren volgt Ir. Schijf die waarde van u uitgedrukt in f/F , h en v en omgekeerd door u te elimineren vindt men de waarde van z . Dit geeft de volgende vergelijkingen.

$$1 - \frac{f/F}{F} - \frac{v^2}{2gh} \left\{ \left(1 + \frac{u/vgh}{\sqrt{v/vgh}}\right)^2 - 1 \right\} - \left(1 + \frac{u/vgh}{\sqrt{v/vgh}}\right)^{-1} = 0$$

$$1 - \frac{f/F}{F} - \frac{z}{h} - \left(1 + 2\frac{z/h}{\frac{v^2}{v^2/gh}}\right)^{-1/2} = 0.$$

In het collegealichtaat van Prof. Ir. L. van Benoegom:

De waterbeweging veroorzaakt door scheepvaart
zijn diaagrammen opgenomen, waaruit men
 u/\sqrt{gh} of z/h kan opzoeken als f/F en v/\sqrt{gh}
bekend zijn.

In het algemeen geeft sneller varen een
grotere waarde voor u en z maar bij een
bepaalde f/F verhouding worden er horen een
bepaalde snelheid geen hogere waarden voor
 u/\sqrt{gh} en z/h meer gevonden. De hoogste kerommes
geven de grenssnelheid aan.

Volgens rapport M 415 van het Waterloopkundig
Laboratorium te Delft geldt:

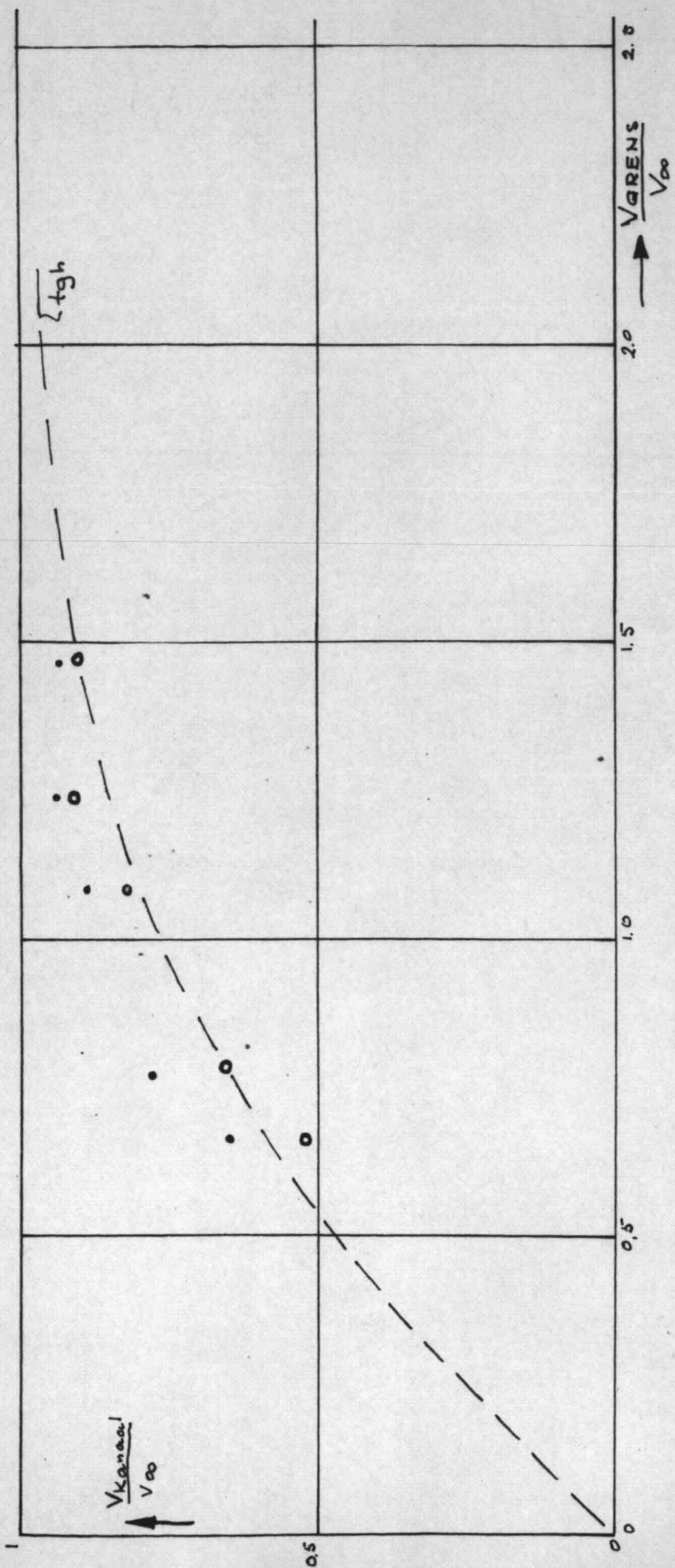
$$\frac{V_{kan}}{V_{os}} = \operatorname{tg} h \frac{V_{grens}}{V_{os}}$$

V_{kan} = de scheepssnelheid in een kanaal bij een
bepaald vermogen.

V_{os} = de scheepssnelheid in onbegrensd water
met het zelfde vermogen.

V_{grens} = de max. snelheid, die het schip, gegeven
zijn afmetingen en die van het kanaal, op
dat kanaal ooit kan halen.

(Dit is dus de grenssnelheid die onafhan-
kelijk van het vermogen is).



- Gemeten door W.L. 1962
- Berekende punten. Geven hogere V_{kanaal} dan gemeten is.

gaaen van een unieke ecuatie. dus men moet veronderstel.

alw. een stel ligjaren schip. dan kunnen dit niet gaan

$$A13 \quad h_1 - h_2 = 0 \quad \leftarrow \quad h_1 = h_2 \quad \leftarrow \quad v + u = 0.$$

$$\text{als } \alpha_{\max} = \frac{2}{3} B (H - f/B)^{\frac{3}{2}} \quad (\text{als } g)$$

$$\left\{ f - \left(\frac{B^3}{f} + H \frac{3}{2} \right) B \right\} \cdot \underbrace{\left\{ f^{\frac{3}{2}} - H^{\frac{3}{2}} - H^{\frac{3}{2}} \log \frac{1}{1 - \frac{f}{B}} \right\}}_{\frac{d}{df} \log \frac{1}{1 - \frac{f}{B}}} = \text{als } g$$

$$\frac{d}{df} \log \frac{1}{1 - \frac{f}{B}} = (z - z) \leftarrow$$

$$z B (h - z) = z B h + f$$

$$- (B h - B z - f) + z B (H - h + z) = 0.$$

$$\text{als } H - h + z \neq 0$$

$$\frac{d}{df} \log \frac{1}{1 - \frac{f}{B}} = \frac{1}{f} \frac{(B h - B z - f)}{(B h - B z - f)} \frac{d}{df} (H - h + z) \cdot B = 0$$

$$\text{als } \alpha_{\max} \text{ als } \frac{d}{df} \log \frac{1}{1 - \frac{f}{B}}$$

$$g = \sqrt{2g(H - h + z)} \cdot (B h - B z - f)$$

$$g = (v + u)(B h - B z - f)$$

$$\text{zoekt } g = (v + u) F,$$

$$F = B(h - z) - f$$

Basisleerbaar opleidingsprogramma is F, x, z

$$\underbrace{(z + h - H) \log \frac{1}{1 - \frac{f}{B}}}_{(v + u)} = (v + u)$$

met het schip mee bewegen.

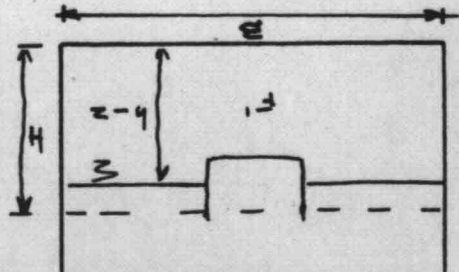
het schip als massa

$$v + u = \text{waterdruk / heel massa}$$

schip

$$h - z = \text{waterdruk / heel massa}$$

$$H = \text{energiehoogte} \quad h - z = \frac{g}{(u + v)^2}$$



werken met $H - h + z \neq 0$. wat voor α_{\max}
de waarde $\frac{2}{3} B (H - \frac{f}{B})^{3/2} (\frac{2}{3} g)^{1/2}$ geeft.

$$F' = B(h-z) - f =$$

$$B(\frac{2}{3}H - \frac{f}{B}) - f = \frac{2}{3}B(H - \frac{f}{B}).$$

$$\begin{aligned} v_{\max} &= \frac{\alpha_{\max}}{F'} = \frac{\frac{2}{3}B(H - \frac{f}{B})^{3/2}(\frac{2}{3}g)^{1/2}}{\frac{2}{3}B(H - \frac{f}{B})} = \\ &(H - \frac{f}{B})^{1/2} (\frac{2}{3}g)^{1/2} = \sqrt{\frac{2}{3}g(H - \frac{f}{B})} \end{aligned}$$

Verder is

$$+l = h + \frac{v_{\text{schip}}^2}{2g}$$

$$\frac{H}{h} = 1 + \frac{v^2}{2gh} = 1 + \frac{1}{2} \left(\frac{v}{\sqrt{gh}} \right)^2$$

$$\frac{v_{\max}}{\sqrt{gh}} = \frac{\sqrt{\frac{2}{3}g(H - \frac{f}{B})}}{\sqrt{gh}} = \sqrt{\frac{2}{3} \left(\frac{H}{h} - \frac{f}{B} \right)} \quad A.B = F$$

$$\frac{v_{\max}}{\sqrt{gh}} = \sqrt{\frac{2}{3} \left\{ 1 + \frac{1}{2} \left(\frac{v}{\sqrt{gh}} \right)^2 - \frac{f}{F} \right\}}$$

Verder afgeleid is

$$\alpha_{\max} = \frac{2}{3} B \left(H - \frac{f}{B} \right) \sqrt{\frac{2}{3}g \left(H - \frac{f}{B} \right)}$$

Door beide termen door $g^{1/2} B h^{3/2}$ te delen.

krijgt men dimensieloze termen.

$$\frac{\alpha_{\max}}{B g^{1/2} h^{3/2}} = \left\{ \frac{2}{3} \left(\frac{H}{h} - \frac{f}{Bh} \right) \right\}^{3/2}$$

$$H = h + \frac{v_{\text{schip}}^2}{2g} \Rightarrow \frac{H}{h} = 1 + \frac{1}{2} \left(\frac{v}{\sqrt{gh}} \right)^2$$

$$\frac{\alpha_{\max}}{B g^{1/2} h^{3/2}} = \left[\frac{2}{3} \left\{ 1 + \frac{1}{2} \left(\frac{v}{\sqrt{gh}} \right)^2 - \frac{f}{F} \right\} \right]^{3/2}$$

$$\alpha_{\text{noodig}} = v \cdot h \cdot B$$

dimensieloos.

$$\frac{Q_{\text{noodig}}}{B g^{1/2} h^{3/2}} = \frac{V \times h \times B}{B g^{1/2} h^{3/2}} = \frac{V}{\sqrt{gh}}$$

De grenssnelheid wordt bereikt bij alle voorwaarden dat $Q_{\text{max}} = Q_{\text{noodig}}$.

$$Q_{\text{max}} = Q_{\text{noodig}} \Rightarrow V = V_{\text{grens}}$$

$$\left[\frac{2}{3} \left\{ 1 + \frac{1}{2} \left(\frac{V_{\text{grens}}}{\sqrt{gh}} \right)^2 - \frac{f}{F} \right\} \right]^{1/2} = \frac{V_{\text{grens}}}{\sqrt{gh}}$$

$$\frac{2}{3} \left\{ 1 + \frac{1}{2} \left(\frac{V_{\text{grens}}}{\sqrt{gh}} \right)^2 - \frac{f}{F} \right\} = \sqrt[3]{\left(\frac{V_{\text{grens}}}{\sqrt{gh}} \right)^2}$$

$$\left(\frac{V_{\text{grens}}}{\sqrt{gh}} \right)^{2/3} - \frac{1}{3} \left(\frac{V_{\text{grens}}}{\sqrt{gh}} \right)^2 = \frac{2}{3} \left(1 - \frac{f}{F} \right) \quad (\text{A})$$

V = snelheid van het water voor en achter het schip t.o.v. het assenkruis dat één paartje met het schip meebevegt.

$V+u$ = snelheid naast het schip.

$$H = h - z + \frac{(V+u)^2}{2g} \quad \text{geleid naast het schip.}$$

$$V+u = \sqrt{2g(H-h+z)}$$

$$Q = \{ B(h-z) - f \} \sqrt{2g(H-h+z)}$$

$$\frac{Q}{B g^{1/2} h^{3/2}} = \frac{\{ B(h-z) - f \} \sqrt{2g(H-h+z)}}{B g^{1/2} h^{3/2}}$$

$$= \frac{(h-z - f/B) \sqrt{2g(H-h+z)}}{h^{3/2}}$$

$$= \left(\frac{h-z}{h} - \frac{f}{B} \right) \sqrt{2 \left(\frac{H}{h} - \frac{h-z}{h} \right)} \quad (\text{a})$$

$$\frac{H}{h} = 1 + \frac{1}{2} \left(\frac{V}{\sqrt{gh}} \right)^2 \quad (\text{b})$$

$$\frac{\varrho \text{ hoek}^2}{B g h^3} = \frac{V}{Vgh} \quad (c)$$

Door combinatie van (a) en (b) en
gelijkstelling aan (c) geeft.

$$\left(\frac{h-z}{h} - \frac{f}{F} \right) \sqrt{2 \zeta_1 + \frac{1}{2} \left(\frac{V}{Vgh} \right)^2 - \frac{h-z}{h}} = \frac{V}{Vgh} \quad (d)$$

$$1 = h + \frac{V^2}{2g} = h-z + \frac{(V+u)^2}{2g}$$

$$\text{continuiteit} \Rightarrow (V+u) \sqrt{(h-z)B - f} = V \cdot h \cdot B = V \cdot F$$

$$V+u = \frac{V \cdot F}{(h-z)B - f}$$

$$h + \frac{V^2}{2g} = (h-z) + \left(\frac{V \cdot F}{(h-z)B - f} \right)^2 \cdot \frac{1}{2g}$$

Hieruit is z op te lossen voor een zekere snelheid V

$$(d) \Rightarrow \left(\frac{h-z}{h} - \frac{f}{F} \right) \sqrt{2 \zeta_1 + \frac{1}{2} \left(\frac{V}{Vgh} \right)^2 - \frac{h-z}{h}} = \frac{V}{Vgh}$$

andens geschreven

$$\frac{f}{F} = \frac{h-z}{h} - \frac{V}{Vgh} \cdot \frac{1}{\sqrt{2 \zeta_1 + \frac{1}{2} \left(\frac{V}{Vgh} \right)^2 - \frac{h-z}{h}}} \quad (B)$$

uit (A) volgt.

$$\frac{f}{F} = 1 - \frac{3}{2} \left(\frac{Vgr}{Vgh} \right)^{3/2} + \frac{1}{2} \left(\frac{Vgr}{Vgh} \right)^2 \quad (C)$$

gecombineerd $\frac{f}{F} = \frac{f}{F}$ geeft

$$\frac{h-z}{h} - \frac{V}{Vgh} \cdot \frac{1}{\sqrt{2 \zeta_1 + \frac{1}{2} \left(\frac{V}{Vgh} \right)^2 - \frac{h-z}{h}}} = 1 - \frac{3}{2} \left(\frac{Vgr}{Vgh} \right)^{3/2} + \frac{1}{2} \left(\frac{Vgr}{Vgh} \right)^2$$

$$H = (k-\epsilon) + \frac{g}{(k+u)^2}$$

$$V^* + u = V^*$$

Leider! En dan begrenzing water.

Wanneer V^* aldaar woonde also $U_{max} = k$ blijkt dus dat
hetzelfde ook hetzelfde moet zijn en dat dan begrenzing
niet meer dan alle wateren behalve water en aardappelen.
Natuurlijk heeft hetzelfde.

Natuurlijk heeft hetzelfde.

Wanneer in de schroef $g = g_0$ dan ook de waterstand gelijk
 $g = g_0$ is. Aldaar is dat indien de waterhoogte U maar dat
stelt niet altijd dat diezelfdeheid over heeft als volgt
in beide gevallen.

Dan $g = g_0$ is dan anders indien water dan dat water
Bij $g = g_0$ waterhoogte van dat water is dat evenals
onderwater in een begrenzing water.

En in een lechraat niet alleen ditzelfde voor F dan alle
twee verschillende wateren nu twee verschillende schepen,

dan $u = 0$.

Als een begrenzing water woonde nu $g = g_0$ dan $F = \infty$
niet heel even.

Wantneem nu F heel veel te groot. Aldaar zal dan dat
gebeurt een kleinere u .

Afmerking. Een grote lechraat U_{max} moet $F = g_0$ zijn ($F = g_0$)
De grote van U is afhankelijk van dat lechraat
snelheid heeft heel veel (veel).

Want een schip in een lechraat. Aldaar is dat water.

$$H = h - z - \frac{V_{eo}^2}{2g}$$

H is ook gelijk aan $\frac{V_k^2}{2g} + h$

$$h - z = \frac{V_k^2}{2g} + h - \frac{V_{eo}^2}{2g}$$

$$\frac{h-z}{h} = \frac{V_k^2 - V_{eo}^2}{2(Vgh)^2} + 1$$

$\frac{h-z}{h}$ in vergelijking (B) gesubstitueerd

$$\frac{f}{F} = \frac{V_k^2 - V_{eo}^2}{2(Vgh)^2} + 1 - \frac{V_k}{\sqrt{gh}} \cdot \frac{1}{\sqrt{2} \left\{ 1 + \frac{1}{2} \left(\frac{V_k}{\sqrt{gh}} \right)^2 - \frac{1}{2} \left(\frac{V_k}{\sqrt{gh}} \right)^2 + \frac{1}{2} \left(\frac{V_{eo}}{\sqrt{gh}} \right)^2 - 1 \right\}}$$

$$\frac{f}{F} = \frac{V_k^2 - V_{eo}^2}{2(Vgh)^2} + 1 - \frac{V_k}{\sqrt{gh}} \cdot \frac{\sqrt{gh}}{V_{eo}}$$

$$\frac{f}{F} = \frac{V_k^2 - V_{eo}^2}{2(Vgh)^2} + 1 - \frac{V_k}{V_{eo}}$$

Bij een gegeven kanaal ($F = h$), schepsafmeting (f) en snelheid V_{eo} op onbegrensd water bij een bepaald vermogen is met behulp van bovenstaande formule de snelheid op dat kanaal (bij hetzelfde vermogen) uit te rekenen.

$$\frac{f}{F} = \frac{V_k^2 - V_{eo}^2}{2(Vgh)^2} + 1 - \frac{V_k}{V_{eo}}$$

Eerder afgeleide vergelijking (A) luidt.

$$\left(\frac{V_{gr.}}{Vgh} \right)^{2/3} - \frac{1}{3} \left(\frac{V_{gr.}}{Vgh} \right)^2 = \frac{2}{3} \left(1 - \frac{f}{F} \right)$$

Eliminatie van $\frac{f}{F}$ geeft

$$\left(\frac{v_{gr.}}{\sqrt{gh}}\right)^{2/3} - \frac{1}{3} \left(\frac{v_{gr.}}{\sqrt{gh}}\right)^2 = \frac{2}{3} \left(\frac{v_k}{v_{es}} - \frac{v_k^2 - v_{es}^2}{2(\sqrt{gh})^2} \right)$$

$$\frac{3}{2} \left(\frac{v_{gr.}}{\sqrt{gh}}\right)^{2/3} - \frac{1}{2} \left(\frac{v_{gr.}}{\sqrt{gh}}\right)^2 = \frac{v_k}{v_{es}} - \frac{1}{2} \left(\frac{v_k}{\sqrt{gh}}\right)^2 + \frac{1}{2} \left(\frac{v_{es}}{\sqrt{gh}}\right)^2$$

$$\frac{v_k}{\sqrt{gh}} = + \frac{\sqrt{gh}}{v_{es}} \pm \sqrt{\left(\frac{\sqrt{gh}}{v_{es}}\right)^2 + \left(\frac{v_{es}}{\sqrt{gh}}\right)^2 - 3 \left(\frac{v_{gr.}}{\sqrt{gh}}\right)^{2/3} + \left(\frac{v_{gr.}}{\sqrt{gh}}\right)^2}$$

Met fysische overwegingen volstaat alleen

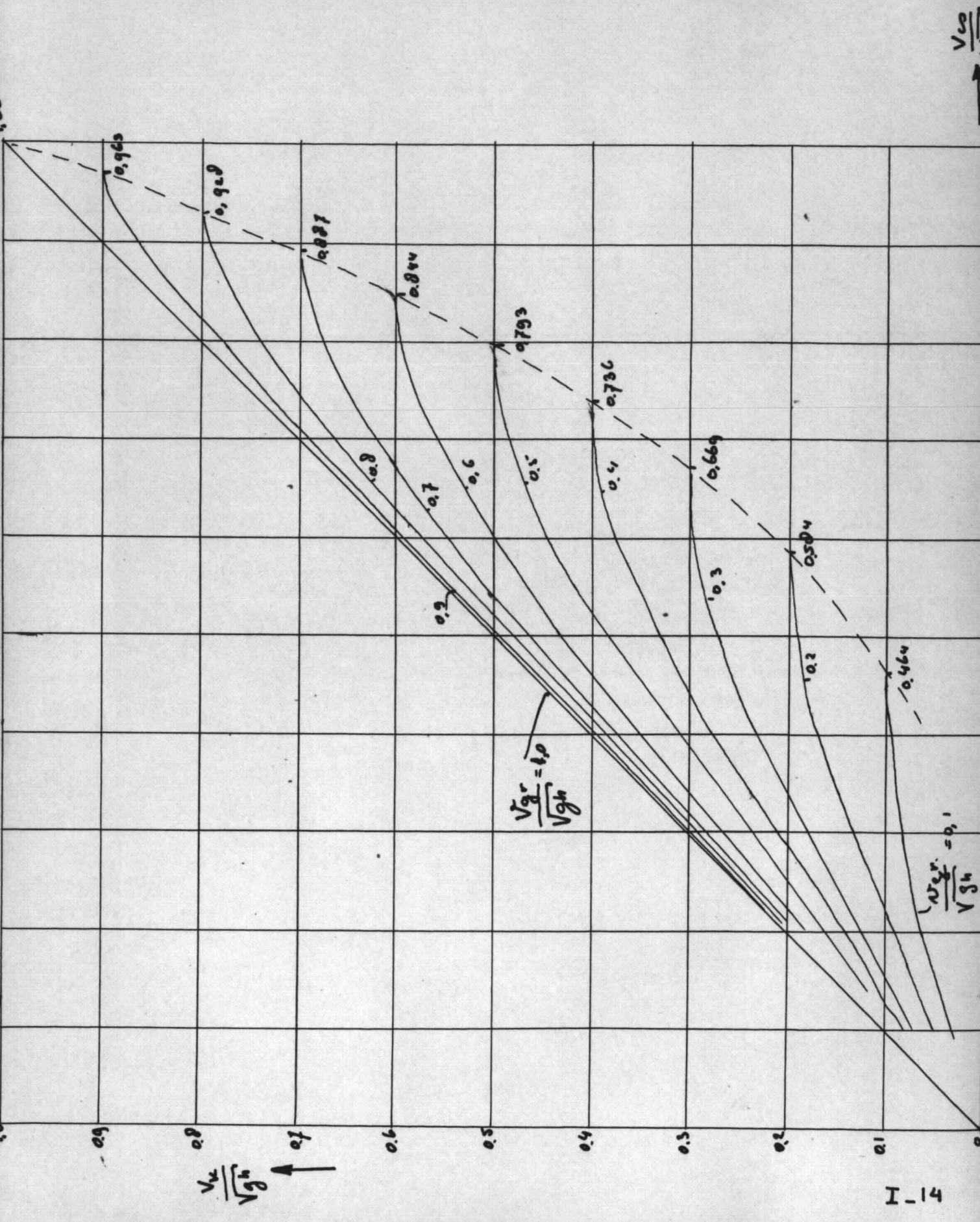
het min teken; anders $v_k > v_{es}$

Het verband tussen $\frac{v_k}{\sqrt{gh}}$, $\frac{v_{es}}{\sqrt{gh}}$ en $\frac{v_{gr.}}{\sqrt{gh}}$ ligt dus.

Vast. zie grafiek volgende pagina.

$\frac{v_k}{\sqrt{gh}}$ kan alleen aan $\frac{v_{es}}{\sqrt{gh}}$ gelijk worden als

$$\frac{v_{gr.}}{\sqrt{gh}} = 1$$



Met behulp van formule (A) pag. I-9. is het mogelijk de V_{gr} als functie van h , ρ en F uit te rekenen. Door middel van de grafiek van pag. I-14 is het tevens mogelijk, als V_{gr} bekend is, het snelheids verschil van een schip in onbegrensd water en in beperkt water te bepalen.

Bij deze grafiek gelden dezelfde voorwaarden die In Schijf. van zijn artikel verboned.

Hoofdstuk II.

Om een indruk van de schroefwerkning te krijgen heb ik de volgende literatuur geraad gesoekt.

A Pulsating Ship Screw Propeller. Operating in Homogeneous Water Flow, van Valter Kostilathen.

Het Wetenschappelijke onderzoek van de Voortstuwing van Schepen : Dr Ir. J.D. van Manen.

Weerstand en Voortstuwing van Schepen.

Dr Ir. W.P.A. van Lammeren met mede werkning van Ir. L. Troost en Ir. J.G. Koning.

Analyse der voortstuwing componenten in verband met het schaal effect bij scheepsmodel proeven : W. P.A. van Lammeren.

Literatuur over de scheepsbeweging in kanalen o.a.

Gegens en beschouwingen over de waterbeweging in kanalen veroorzaakt door scheepvaart in aansluiting op het college Scheepvaartwegen van Prof. Ir. L. van Bendegom, samengesteld door Ir. F. van Rossen.

Mitteilungsblatt der Bundesanstalt für Wasserbau Nr 27. Karlsruhe Sept. 1968.

Verslag M 415 van W.L. : Verschijnselen bij de vaart van één of twee schepen in een kanaal

Verslag van het. XVII^e Internationale
scheepvaartcongres te Lissabon 1949.

Verslag van het. XVIII^e Internationale
scheepvaartcongres te Rome 1953.

Der zweckmäßige Querschnitt von Binnenschif-
fahrtskanälen der Wasserstraßenklasse IV
von Diplom-Ingenieur. Heinz Graewe.

Untersuchung der Verformung der Wasseroberfläche
durch die Verdrängungsströmung bei der Fahrt
eines Schiffes auf seitlich beschränkten flachen
Fahrwasser. : Sturzal, Graf und Müller.

Verder zijn nog enkele boeken over golftopwelen-
kunde en golfweerstand gereadpleegd.
o.a. hydrodynamics van H. Lamb.

Hoofdstuk III.

Potentiaal stroming..

Het uitgangspunt is hier geweest of men de scheepsform en stroming in potentiaal- en stroom functie vast kan leggen, zodat, als het ware een wiskundig model ontstaat, die de stroming om een zéch zelf voortstuwend schip varen kan in de os van een kanaal, nabootst.

Hierbij is gebruik gemaakt van het opleeraat „Stromingsleer” (voortgezette cursus) geschreven door Prof. Ir. J.O. Hinze.

U_x is gedefinieerd als $\frac{\partial \phi}{\partial x}$ ϕ = potentiaalfunctie

$$U_y = \frac{\partial \phi}{\partial y}$$

$$\frac{\partial^2 \phi}{\partial x^2} + \frac{\partial^2 \phi}{\partial y^2} = 0 \quad (\text{massabalan})$$

$$\frac{\partial^2 \psi}{\partial x^2} + \frac{\partial^2 \psi}{\partial y^2} = 0 \quad (\text{wervelvrijheid}).$$

ψ = stroomfunctie.

De potentiaalfuncties hebben de volgende waarden voor par. stroom $\phi = U \cdot x$

$$\text{bron. } \phi = \frac{Q}{2\pi} \ln \sqrt{x^2+y^2}$$

$$\text{wervel } \phi = \frac{r}{2\pi} \arctan \frac{y}{x}$$

$$\text{olipool } \phi = \frac{m \cdot x}{2\pi (x^2+y^2)}$$

waarbij dan bron, wervel en olipool in de oorsprong van het assenstelsel staan.

De stroomfuncties hebben de volgende waarden

par. stroom $\psi = u \cdot y$.

bron $\psi = \frac{Q}{2\pi} \arctan \frac{y}{x}$

wervel $\psi = -\frac{1}{2\pi} \ln \sqrt{x^2+y^2}$

elipool $\psi = -\frac{m}{2\pi(x^2+y^2)}$.

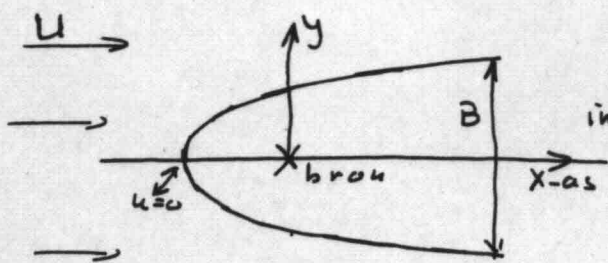
$$u_x = \frac{\partial \psi}{\partial x} = \frac{\partial \psi}{\partial y}$$

$$u_y = \frac{\partial \psi}{\partial y} = -\frac{\partial \psi}{\partial x}$$

In bovenstaande formules zijn x en y dimensieloze coördinaten.

Wanneer men een bron in een parallelstroom plaatst, zal op een lijn gaand door de bron en evenwijdig aan de richting van de parallelstroom, een punt liggen waar de snelheid nul is.

Boven beschreven punt het het stuwpunt en in dat punt is de snelheid van een waterdeel t.g.v. de bron even groot als de snelheid t.g.v. par stroom maar alleen in tegenovergestelde richting, zodat de resulterende snelheid nul is.



Plaatst men in een bron in een par stroom en legt men de x-as in de richting van de par stroom. en de oorsprong. in hetzelfde punt als de bron,

dan ontstaat voor de ϕ de volgende vergelijking.

$$\phi = \phi_{panstroom} + \phi_{bron}$$

$$\phi = U \cdot x + \frac{q}{2\pi} \ln \sqrt{x^2+y^2}$$

$$U_x = U + \frac{q}{2\pi} \frac{x}{x^2+y^2}$$

Voor $x = -a$ treedt een stuwpunt op ($y=0$)

voor $x = -a$ $U_{x0} = 0$

$$\infty = U + \frac{q}{2\pi} \frac{-a}{a^2+0}$$

$$a = \frac{q}{2\pi U} \quad \phi = 2\pi U a$$

Op een afstand $x = +\infty$ is de snelheid in y richting gelijkmatig verakeeld en wel U .

Het debiet voor $x < -a$ is $Q = U \cdot y = U \cdot 0 = 0$.

Het debiet voor $x = +\infty$ is $Q = U \cdot (y - B) + B \cdot U$

B te verwachten tenzij $y = \infty$.

$$(B)_{x=+\infty} = \frac{q}{U} = \frac{2\pi U a}{U} = 2\pi a$$

De stroomlijn door het stuwpunt vormt de contour van het halflichaam.

$$\text{poolcoördinaten.} \rightarrow \phi = U(r \cos \psi + a \sin \psi)$$

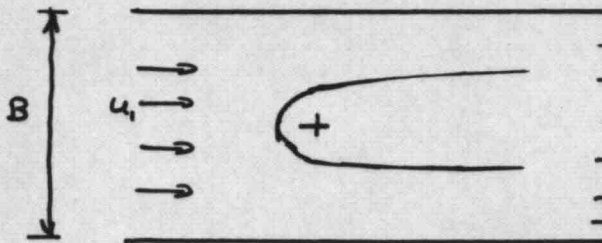
$$\psi = U(r \sin \psi + a \cos \psi)$$

De stroomlijn door het stuwpunt is de contour van het halflichaam.

$$\text{voor } \psi = \pi \quad \psi = U a \pi$$

ψ is gelijk aan halve bronsterkte.

$$\text{Contour } \frac{\partial \phi}{2} = U \cdot f_c + \frac{Q}{2\pi} \arctan \frac{y_c}{x_c}$$

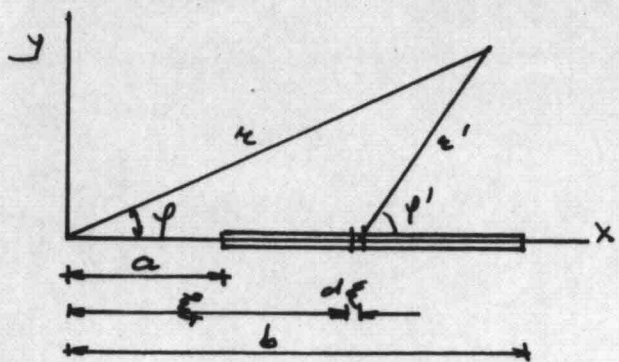


Voor de hier naast
getekende toestand.
gaan die aan het.

begin van alit hoofdstuk genoemde formules
voor ϕ en ψ niet meer op door dat het
water nu aan beide zijden op een eindige
afstand begrensd wordt.

Continue verdeling van putten en bronnen in een
oneindig brede parallelstroom.

bronsterkte per eenheid van lengte is q_f
belegging van $x=a$ tot $x=b$.



Voorwaarde voor een
gesloten contour is.
 $\int q_f(\xi) d\xi = 0$.

Als boven staande integraal
 $\neq 0$, dan blijft er een
positieve - of negatieve waterproductie over.

Voor een pos. waterproductie is de contour aan
 $x=+\infty$ open (zie boven). En bij neg. waterpro-
ductie krijgt de contour de volgende gesloten tekening.



Potentiaal functie

$$\psi = u \cdot x + \frac{1}{2\pi} \int_a^b d\xi q(\xi) \ln z'$$

stroom functie

$$\psi = u \cdot y + \frac{1}{2\pi} \int_a^b d\xi q(\xi) \varphi'$$

$$= u \cdot y + \frac{1}{2\pi} \int_a^b d\xi q(\xi) \arctan \frac{y}{x-\xi}$$

De contour wordt bepaald door de stroomlijn
door het stuwpunt $x < a$ $y = 0$ $\varphi' = \pi$

$$\psi_c = \frac{1}{2\pi} \int_a^b d\xi q(\xi) \pi = \frac{1}{2} \underbrace{\int_a^b d\xi q(\xi)}_0 = 0$$

" bij gesloten contour.

Voor een gesloten contour

$$\psi_c = 0 = u z_c \sin \psi_c + \frac{1}{2\pi} \int_a^b d\xi q(\xi) \arctan \frac{z_c \sin \psi_c}{z_c \cos \psi_c - \xi} > 0$$

Dit geldt weer voor het geval dat de breedte
niet begrensd is.

De stroom- en potentiaal functies voor bron-,
parallelstroom etc. zijn in Bijlage afgeleid.
Hier volgt alleen een samenvatting van de
afgeleide formules.

Parallelstroom

$$\phi = u \cdot x$$

$$\psi = u \cdot y$$

Bron:

$$\phi = \frac{q}{2\pi} \frac{1}{2} \ln \left(\cosh^2 \frac{\pi}{13} x \sin^2 \frac{\pi}{13} y + \sinh^2 \frac{\pi}{13} x \cos^2 \frac{\pi}{13} y \right)$$

of

$$\phi = \frac{q}{2\pi} \frac{1}{2} \ln \frac{1}{2} \left(\cosh \frac{2\pi}{13} x - \cos \frac{2\pi}{13} y \right).$$

$$\psi = - \frac{q}{2\pi} \arctan \frac{\sinh \frac{\pi}{13} x \cos \frac{\pi}{13} y}{\cosh \frac{\pi}{13} x \sin \frac{\pi}{13} y}$$

$$u_x = \frac{q}{2B} \frac{\sinh \frac{2\pi}{13} x}{\cosh \frac{2\pi}{13} x - \cos \frac{2\pi}{13} y}$$

$$u_y = \frac{q}{2B} \frac{\sin \frac{2\pi}{13} y}{\cosh \frac{2\pi}{13} x - \cos \frac{2\pi}{13} y}$$

Dipool

$$\phi = \frac{m}{2\pi} \frac{\sinh \frac{2\pi}{13} x}{\cosh \frac{2\pi}{13} x - \cos \frac{2\pi}{13} y}$$

$$\psi = - \frac{m}{2\pi} \frac{\sin \frac{2\pi}{13} y}{\cosh \frac{2\pi}{13} x - \cos \frac{2\pi}{13} y}$$

$$u_x = \frac{m}{2B} \frac{1 - \cosh \frac{2\pi}{13} x \cos \frac{2\pi}{13} y}{(\cosh \frac{2\pi}{13} x - \cos \frac{2\pi}{13} y)^2}$$

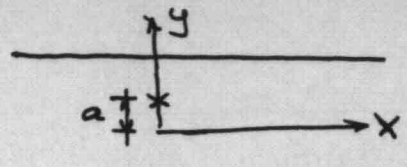
$$u_y = - \frac{m}{2B} \frac{\sinh \frac{2\pi}{13} x \sin \frac{2\pi}{13} y}{(\cosh \frac{2\pi}{13} x - \cos \frac{2\pi}{13} y)^2}$$

Wervel

$$\phi = - \frac{\Gamma}{2\pi} \arctan \frac{\sinh \frac{\pi}{13} x \cos \frac{\pi}{13} y}{\cosh \frac{\pi}{13} x \sin \frac{\pi}{13} y}$$

$$\psi = - \frac{\Gamma}{2\pi} \frac{1}{2} \ln \left(\cosh^2 \frac{\pi}{8} x \sin^2 \frac{\pi}{8} y + \sinh^2 \frac{\pi}{8} x \cos^2 \frac{\pi}{8} y \right).$$

bron op afstand $y = a$



$$\phi = \frac{Q}{2\pi} \frac{1}{z} \ln \left\{ \cosh \frac{\pi}{B} x \sin \frac{\pi}{B} y + \cos \frac{\pi}{B} a \right\}^2 + \sinh^2 \frac{\pi}{B} x \cos^2 \frac{\pi}{B} y \}$$

$$\psi = - \frac{Q}{2\pi} \arctan \frac{\sinh \frac{\pi}{B} x \cos \frac{\pi}{B} y}{\cosh \frac{\pi}{B} x \sin \frac{\pi}{B} y + \cos \frac{\pi}{B} a}$$

$$U_x = \frac{Q}{2B} \frac{\cosh \frac{\pi}{B} x \sinh \frac{\pi}{B} x + \sinh \frac{\pi}{B} x \cos \frac{\pi}{B} a \sin \frac{\pi}{B} y}{(\cosh \frac{\pi}{B} x \cos \frac{\pi}{B} y + \cos \frac{\pi}{B} a)^2 + \sinh^2 \frac{\pi}{B} x \cos^2 \frac{\pi}{B} y}$$

$$U_y = \frac{Q}{2B} \frac{\sin \frac{\pi}{B} y \cos \frac{\pi}{B} y + \cosh \frac{\pi}{B} x \cos \frac{\pi}{B} a \cos \frac{\pi}{B} y}{(\cosh \frac{\pi}{B} x \cos \frac{\pi}{B} y + \cos \frac{\pi}{B} a)^2 + \sinh^2 \frac{\pi}{B} x \cos^2 \frac{\pi}{B} y}$$

Continue verdeling van bronnen en poorten
van $x = a$ tot en met $x = b$

$$\phi = \frac{1}{2\pi} \int_a^b d\xi q(\xi) \frac{1}{z} \ln \left\{ \cosh^2 \frac{\pi}{B} (x-\xi) \sin^2 \frac{\pi}{B} y + \sinh^2 \frac{\pi}{B} (x-\xi) \cos^2 \frac{\pi}{B} y \right\}$$

$$\psi = - \frac{1}{2\pi} \int_a^b d\xi q(\xi) \arctan \frac{\sinh \frac{\pi}{B} (x-\xi) \cos \frac{\pi}{B} y}{\cosh \frac{\pi}{B} (x-\xi) \sin \frac{\pi}{B} y}$$

Kan men nu met behulp van bovenstaande formules de stroming om een schip in een kanaal voorstellen?

Als scheeps-type is de "Johann Welker" gekozen.

Als kanaal is het "Main - Donau Kanaal" gekozen.

Beiden zijn ontleent aan het Mitteilungsblatt der Bundesanstalt für Wasserbau Nr. 27.

In boven genoemde uitgaven zijn stroomsneldheden net boven de bodem en talud opgenomen zodat deze prototype metingen vergeleken kunnen worden met berekende grootteën.

Het schip "Johann Welker".

Lengt 80 m.

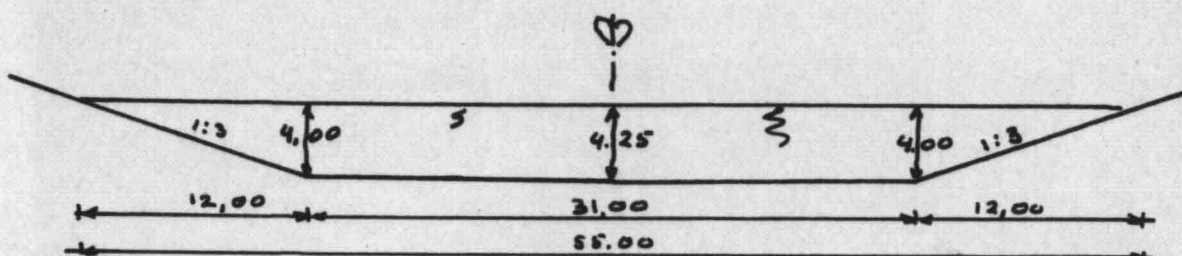
Breed 9.50 m.

Diepgang. (afhankelijk van belastingsgraad)

in beschouwde gevallen steeds 2.50 m.

Oppervlakte grootspant $9.50 \times 2.50 = 23.75 \text{ m}^2$

Dwarsprofiel Main - Donau kanaal.



$$F = \text{kanaal oppervlak} = 31 \times \frac{4 + 4.25}{2} + 2 \cdot \frac{12 \times 4}{2} = 176 \text{ m}^2$$

Geschematiseerd tot rechthoek met diepte 4 en breedte $\frac{176}{4} = 44 \text{ m}$.

Voor schematisatie zie ook hoofdstuk IV

Het grootspant oppervlak wordt geschematiseerd tot een nieuwe breedte en nieuwe diepgang, waarbij de nieuwe diepgang de diepte van het geschematiseerde kanaal is. Zoals volgt wordt de nieuwe breedte $\frac{9.50 \times 2.50}{4} = 5.60 \text{ m}$.

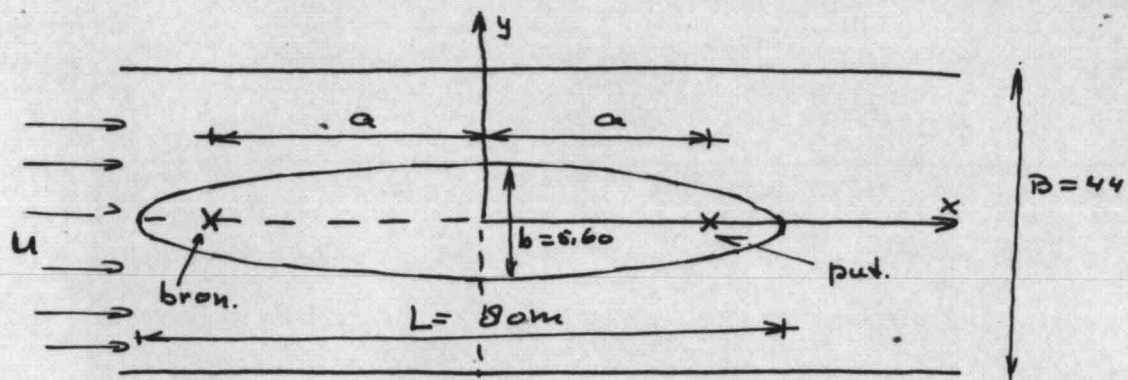
Hierdoor zijn de afmetingen in dieptenrichting vast.

Deze schematisatie is nodig omdat het wiskundig

model slechts tweedimensionaal is.

Welke ^{contour} vorm geeft één put en één bron met dezelfde sterkte in een parallelstroom?

$$\phi = U \cdot x + \frac{Q}{2\pi} \left[\frac{1}{2} \ln \frac{1}{2} \left\{ \cosh \frac{2\pi}{B} (x+a) - \cos \frac{2\pi}{B} y \right\} \right. \\ \left. - \frac{Q}{2\pi} \frac{1}{2} \ln \frac{1}{2} \left\{ \cosh \frac{2\pi}{B} (x-a) - \cos \frac{2\pi}{B} y \right\} \right]$$



$$U_x = \frac{\partial \phi}{\partial x} = U + \frac{Q}{2\pi} \frac{\pi}{B} \frac{\sinh \frac{2\pi}{B} (x+a)}{\cosh \frac{2\pi}{B} (x+a) - \cos \frac{2\pi}{B} y} + \\ - \frac{Q}{2\pi} \frac{\pi}{B} \frac{\sinh \frac{2\pi}{B} (x-a)}{\cosh \frac{2\pi}{B} (x-a) - \cos \frac{2\pi}{B} y}$$

$$B = 44$$

$$U_x = U + \frac{Q}{2 \cdot 44} \frac{\sinh \frac{2\pi}{44} (x+a)}{\cosh \frac{2\pi}{44} (x+a) - \cos \frac{2\pi}{44} y} - \frac{Q}{2 \cdot 44} \frac{\sinh \frac{2\pi}{44} (x-a)}{\cosh \frac{2\pi}{44} (x-a) - \cos \frac{2\pi}{44} y}$$

Als eis is nu gesteld dat de contour alleen de putten $x = +40, y = 0$, $x = -40, y = 0$

$x = 0, y = +\frac{5,60}{2}$ en $x = 0, y = -\frac{5,60}{2}$ moet gaan.

Bij deze eis wordt uitgerekend de afstand a en de bron- en putsterkte Q zodat aan de eis volstaan wordt.

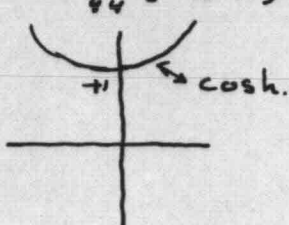
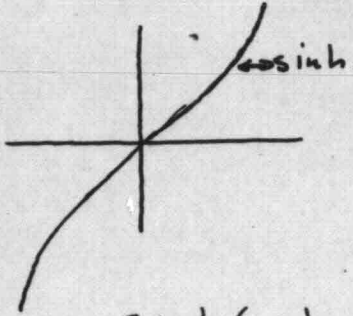
$$\text{Voor } \begin{cases} x = +40 \\ y = 0 \end{cases} \quad \left\{ \begin{array}{l} u=0 \\ u=0 \end{array} \right. \quad (1)$$

$$\begin{cases} x = -40 \\ y = 0 \end{cases} \quad \left\{ \begin{array}{l} u=0 \\ u=0 \end{array} \right. \quad (2)$$

zo dat de twee bovenstaande punten stuw punten zijn.

$$(1) \rightarrow u_{x=0} = u + \frac{\varrho}{2 \cdot 44} \frac{\sinh \frac{2\pi}{44} (40+a)}{\cosh \frac{2\pi}{44} (40+a)-1} - \frac{\varrho}{2 \cdot 44} \frac{\sinh \frac{2\pi}{44} (40-a)}{\cosh \frac{2\pi}{44} (40-a)-1}$$

$$(2) \rightarrow u_{x=0} = u + \frac{\varrho}{2 \cdot 44} \frac{\sinh \frac{2\pi}{44} (-40+a)}{\cosh \frac{2\pi}{44} (-40+a)-1} - \frac{\varrho}{2 \cdot 44} \frac{\sinh \frac{2\pi}{44} (-40-a)}{\cosh \frac{2\pi}{44} (-40-a)-1}$$



$$\sinh(-a) = -\sinh(a) \quad \cosh(-a) = +\cosh(a).$$

(2) verdien uitgewerkt.

$$0 = u - \frac{\varrho}{2 \cdot 44} \frac{\sinh \frac{2\pi}{44} (40-a)}{\cosh \frac{2\pi}{44} (40-a)-1} + \frac{\varrho}{2 \cdot 44} \frac{\sinh \frac{2\pi}{44} (40+a)}{\cosh \frac{2\pi}{44} (40+a)+1} \quad (a)$$

Dit is dezelfde vergelijking als de vergelijking die achter $(1) \rightarrow u_{x=0} = u + \text{enz}$ staat.

De algemene vergelijking voor een stroomlijn is:

$$\psi = u_y - \frac{\varrho}{2\pi} \arctan \frac{\sinh \frac{\pi}{44} (x+a) \cos \frac{\pi}{44} y}{\cosh \frac{\pi}{44} (x+a) \sin \frac{\pi}{44} y} +$$

$$+ \frac{\varrho}{2\pi} \arctan \frac{\sinh \frac{\pi}{44} (x-a) \cos \frac{\pi}{44} y}{\cosh \frac{\pi}{44} (x-a) \sin \frac{\pi}{44} y}.$$

Voor $x \leq -40$ en $x \geq +40$ is de contour van het schip de x -as (de lijn $y=0$). Het schip heeft hier een oneindig kleine breedte.

In het punt $x = -40$ splitst de contour zich in twee takken, die elk één zijkant van het schip voorstellen. Deze twee takken komen dan in het punt $x = +40$ weer samen om dan als één lijn (de x -as) verder te gaan.

De stroomlijn die de contour voorstelt moet dan door het punt $x = +40 \quad y = 0$ gaan.

$$\psi_c = U_0 - \frac{\alpha}{2\pi} \arctan \left(\tanh \frac{\pi}{44} (x_0 + a) \underbrace{\cot \phi}_\infty \right) +$$

$$+ \frac{\alpha}{2\pi} \arctan \left(\tanh \frac{\pi}{44} (x_0 - a) \underbrace{\cot \phi}_\infty \right)$$

$$\psi_c = 0 - \frac{\alpha}{2\pi} \arctan \phi + \frac{\alpha}{2\pi} \arctan \phi$$

$$\arctan \phi = \frac{\pi}{2}$$

$$\psi_c = 0 - \frac{\alpha}{2\pi} \cdot \frac{\pi}{2} + \frac{\alpha}{2\pi} \cdot \frac{\pi}{2} = 0$$

$$\begin{aligned} \psi_c = 0 &= U_0 \cdot \gamma_c - \frac{\alpha}{2\pi} \arctan \frac{\sinh \frac{\pi}{44} (x_c + a) \cos \frac{\pi}{44} \gamma_c}{\cosh \frac{\pi}{44} (x_c + a) \sin \frac{\pi}{44} \gamma_c} + \\ &+ \frac{\alpha}{2\pi} \arctan \frac{\sinh \frac{\pi}{44} (x_c - a) \cos \frac{\pi}{44} \gamma_c}{\cosh \frac{\pi}{44} (x_c - a) \sin \frac{\pi}{44} \gamma_c} \end{aligned}$$

Deze lijn moet ook door het punt

$$x = 0 \quad y = 2,80 \quad \text{gaan.}$$

$$\begin{aligned} 0 &= U_0 \cdot 2,80 - \frac{\alpha}{2\pi} \arctan \frac{\sinh \frac{\pi}{44} a \cos \frac{\pi}{44} 2,80}{\cosh \frac{\pi}{44} a \sin \frac{\pi}{44} 2,80} + \\ &+ \frac{\alpha}{2\pi} \arctan \frac{\sinh \frac{\pi}{44} (-a) \cos \frac{\pi}{44} 2,80}{\cosh \frac{\pi}{44} (-a) \sin \frac{\pi}{44} 2,80} \end{aligned}$$

$$0 = U \cdot 2,80 - \frac{Q}{2\pi} \arctan \frac{\sinh \frac{\pi}{44} a \cos \frac{\pi}{44} \cdot 2,80}{\cosh \frac{\pi}{44} a \sin \frac{\pi}{44} 2,80} - \frac{Q}{2\pi} \times \\ \times \arctan \frac{\sinh \frac{\pi}{44} a \cos \frac{\pi}{44} 2,80}{\cosh \frac{\pi}{44} a \sin \frac{\pi}{44} 2,80}$$

$$U \cdot 2,80 = 2 \frac{Q}{2\pi} \arctan \frac{\sinh \frac{\pi}{44} a \cos \frac{\pi}{44} \cdot 2,80}{\cosh \frac{\pi}{44} a \sin \frac{\pi}{44} 2,80} \quad (b)$$

(a) was

$$U + \frac{Q}{2.44} \left(\frac{\sinh \frac{2\pi}{44} (40+a)}{\cosh \frac{2\pi}{44} (40+a)-1} - \frac{\sinh \frac{2\pi}{44} (40-a)}{\cosh \frac{2\pi}{44} (40-a)-1} \right) = 0$$

$$\frac{Q}{2\pi} = \frac{-U}{\frac{\sinh \frac{2\pi}{44} (40+a)}{\cosh \frac{2\pi}{44} (40+a)-1} - \frac{\sinh \frac{2\pi}{44} (40-a)}{\cosh \frac{2\pi}{44} (40-a)-1}} \cdot \frac{44}{\pi}$$

Boven staande waarde van $\frac{Q}{2\pi}$ in (b) ingevuld geeft.

$$U \cdot \frac{2,80}{2} = \frac{44}{\pi} \frac{-U}{\frac{\sinh \frac{2\pi}{44} (40+a)}{\cosh \frac{2\pi}{44} (40+a)-1} - \frac{\sinh \frac{2\pi}{44} (40-a)}{\cosh \frac{2\pi}{44} (40-a)-1}} \times \\ \times \arctan \frac{\sinh \frac{2\pi}{44} a \cos \frac{2\pi}{44} \cdot 2,80}{\cosh \frac{2\pi}{44} a \sin \frac{\pi}{44} \cdot 2,80}$$

Beide leden zijn alor U te delen. Daarna volgt er een vergelijking waarin a de enige onbekende is. a is dus op te lossen.

Als a opgelost is, dan is met behulp van vergelijking (b) de verhouding tussen U en Q op te lossen.

De plaats van de put en de bron is dus onafhankelijk van de sterkte van de parallelstroem U , terwijl de sterkte van Q recht evenredig is met de sterkte van U .

Het reken werk is door de I.B.M. 360/65 van het Rekencentrum van T.H. Delft gedaan.

Vergelijking (b) is als volgt te schrijven

$$\arctan \frac{\sinh \frac{\pi}{44} a \cos \frac{\pi}{44} \cdot 2,80}{\cosh \frac{\pi}{44} a \sin \frac{\pi}{44} 2,80}$$

$$(c) \quad \frac{\sinh \frac{2\pi}{44} (40+a)}{\cosh \frac{2\pi}{44} (40+a)-1} - \frac{\sinh \frac{2\pi}{44} (40-a)}{\cosh \frac{2\pi}{44} (40-a)-1} = -1,40 \frac{\pi}{44} = -0,0999$$

In dit programma staat sinh steeds aangegeven als sink.

De volgende grootheden in het programma voor.

$$\text{PI} = \pi = 3,14159$$

φ_{BR} is de sterkte van de bron en de put.

φ is de bekende term van vergelijking (c)

$$\varphi = -0,0999.$$

A is de geschatte waarde van a

$$C \text{ is hulpgrootheid } C = \pi/44$$

$$D \text{ is hulpgrootheid. } D = C \times 2,80 = \frac{\pi}{44} \times 2,80$$

$$E \text{ is hulpgrootheid. } E = 2 \times C = \frac{2\pi}{44}$$

Verg. (c) met bovenstaande symbolen geschreven heeft de volgende geadaante

$$\arctan \frac{\text{sink } Ex \cos D}{\cosh Ex \sinh D}$$

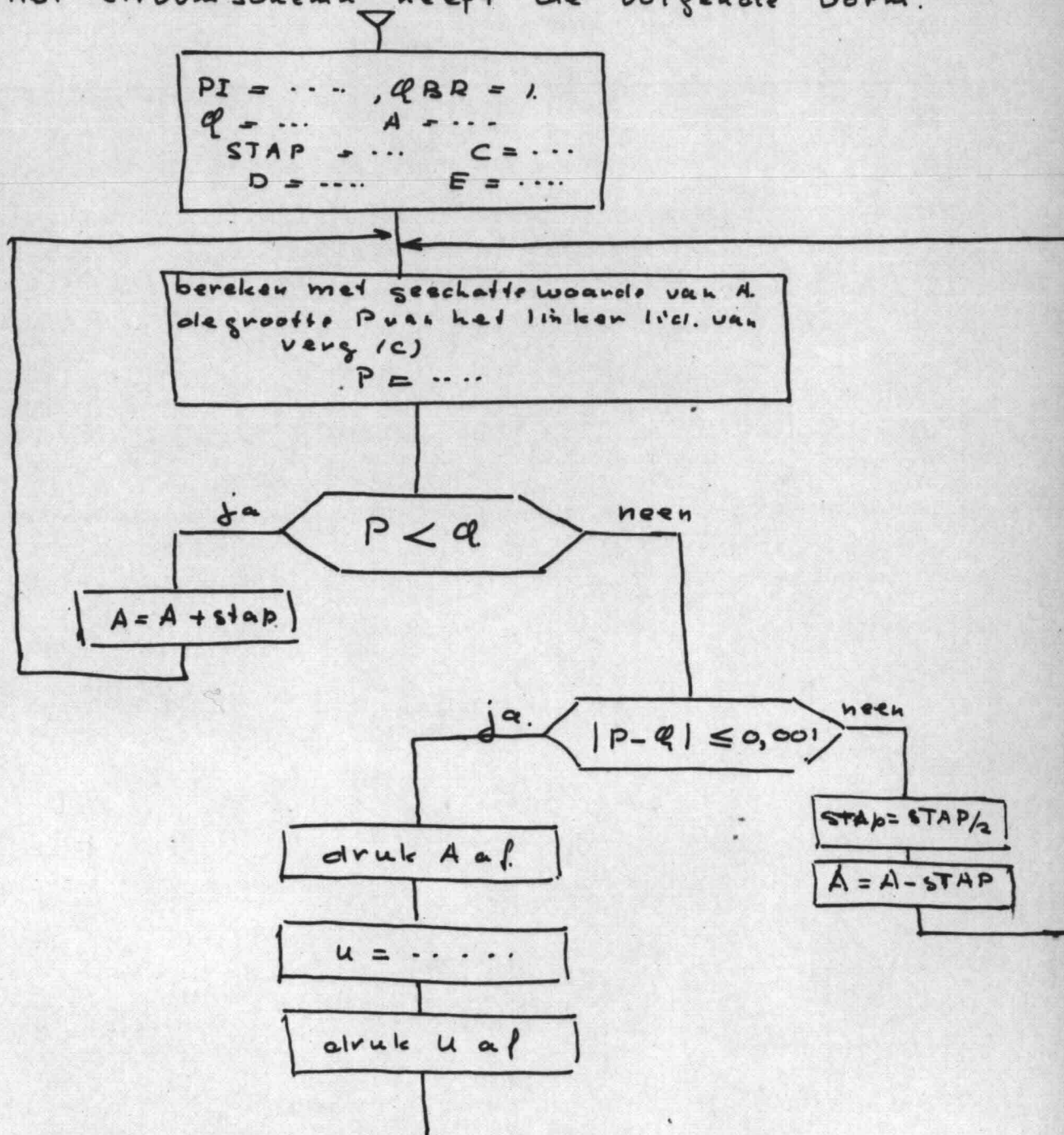
$$\frac{\text{sink } Ex(40+a)}{\cosh Ex(40+a)-1} - \frac{\text{sink } Ex(40-a)}{\cosh Ex(40-a)-1} = \varphi.$$

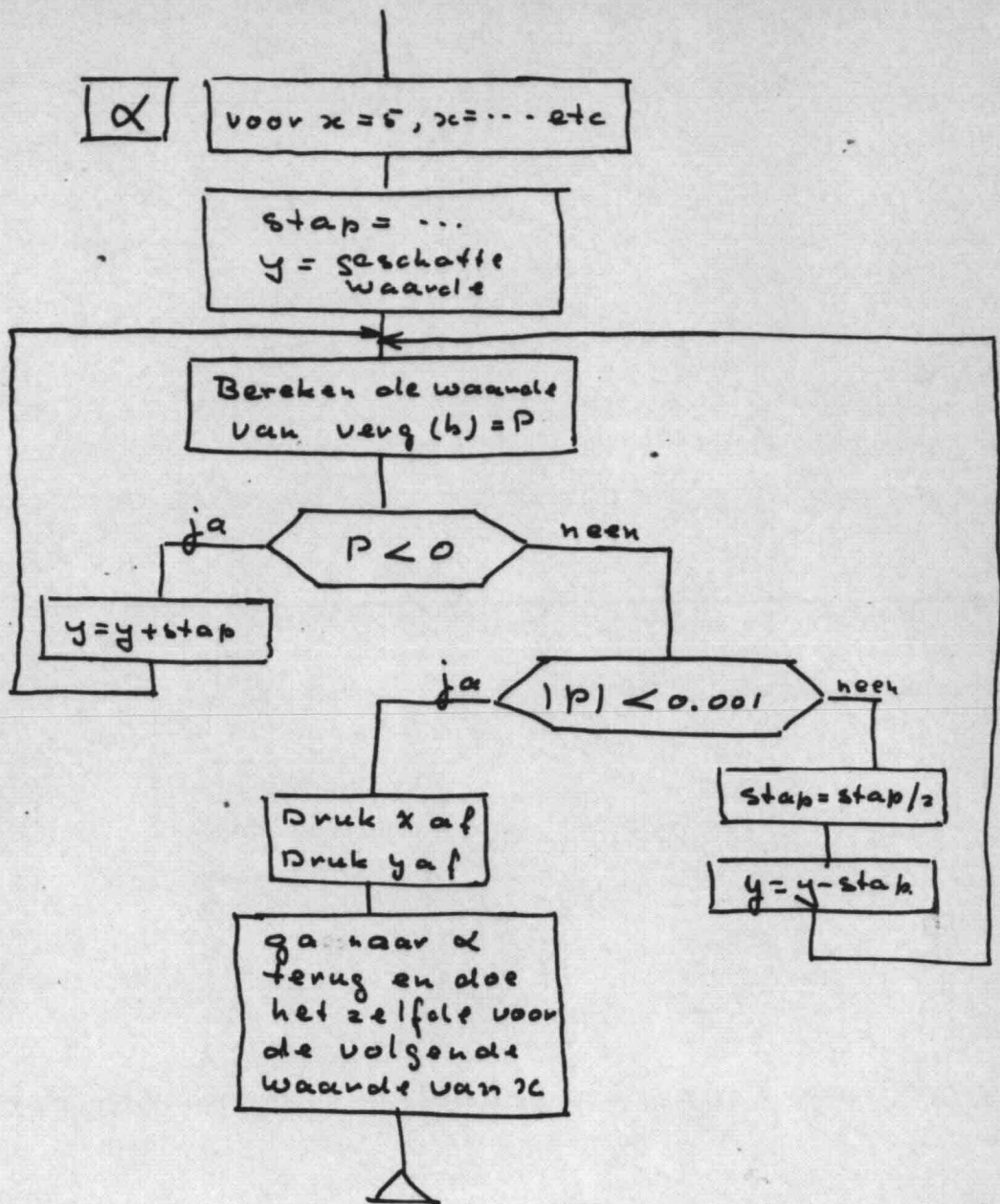
Verder wordt nog een hulpgetal P gebruikt.

P is de waarde van linker lid bij een geschatte

waarde van a . Deze waarde P wordt vergeleken met de waarde van rechterlid (q). Is het verschil meer dan een bepaalde waarde, dan wordt een nieuwe schatting van a gedaan en het proces begint opnieuw het zolang dat het verschil tussen P en q kleiner is dan een bepaalde waarde.

Het stroomschema heeft de volgende vorm.





De in het laatste deel van dit programma berekende waarden van y bekoren bij een bepaalde waarden van x geven de punten een verzameling punten waardoor de contour gaat, zodat men een indruk krijgt van de vorm die ontstaat.

Zie ook bij gevoegde I.B.M. uitvoer. (met kop W.WWB JR 2)
A

Verder is het pakket puntskaarten bijgevoegd.

In het bovenstaande geval gaat de contour slechts door een paar voorgeschreven punten.

Is het nu ook mogelijk om de contour voor te schrijven en daar bij een patten en bronnenbelegging uit te rekenen?

Ja, dat is mogelijk. Men heeft dan een continue bronnenbelegging plus een oneindig groot aantal oneindige kleine bronnen en een oneindig aantal voorgeschreven punten waardoor de contour moet gaan. Zodoende heeft men ook een oneindig aantal vergelijkingen met even zovele onbekenden.

Dit grote aantal vergelijkingen wordt samengevat in één vergelijking namelijk een integraalvergelijking.

De algemene potentiaalvergelijking voor een parallelstroom in een kanaal met bogenlijnen.

een gelijkmatige bronnenverdeling van 0 tot L is,

$$\phi = U \cdot x + \frac{1}{2\pi} \int_0^L d\xi q(\xi) \left[\ln \left\{ \cosh^2 \frac{\pi}{B} (x-\xi) \right\} \sin^2 \frac{\pi}{B} y + \sinh^2 \frac{\pi}{B} (x-\xi) \cos^2 \frac{\pi}{B} y \right]$$

De stroomlijn

$$\psi = U \cdot y - \frac{1}{2\pi} \int_0^L d\xi q(\xi) \arctan \frac{\sinh \frac{\pi}{B} (x-\xi) \cos \frac{\pi}{B} y}{\cosh \frac{\pi}{B} (x-\xi) \sin \frac{\pi}{B} y}$$

$$U_x = U + \frac{1}{2\pi} \int_0^L d\xi q(\xi) \frac{2 \sinh \frac{\pi}{B} (x-\xi) \cosh \frac{\pi}{B} (x-\xi)}{\cosh^2 \frac{\pi}{B} (x-\xi) \sin^2 \frac{\pi}{B} y + \sinh^2 \frac{\pi}{B} (x-\xi) \cos^2 \frac{\pi}{B} y}$$

of

$$U_x = U + \frac{1}{2\pi} \int_0^L d\xi q(\xi) \frac{\sinh \frac{2\pi}{B} (x-\xi)}{\cosh \frac{2\pi}{B} (x-\xi) - \cos \frac{2\pi}{B} y}$$

In de punten $x=0$ $y=0$ en $x=L$ $y=0$ trecken
stuwpunten op dus daar is $u_x=0$.

$$0 = u + \frac{1}{2B} \int_0^L \alpha \xi q(\xi) \frac{\sinh \frac{2\pi}{B}(0-\xi)}{\cosh \frac{2\pi}{B}(0-\xi) - \cos 0}$$

$$0 = u + \frac{1}{2B} \int_0^L \alpha \xi q(\xi) \frac{-\sinh \frac{2\pi}{B}\xi}{\cosh \frac{2\pi}{B}\xi - 1} \quad (1)$$

$$0 = u + \frac{1}{2B} \int_0^L \alpha \xi q(\xi) \frac{\sinh \frac{2\pi}{B}(L-\xi)}{\cosh \frac{2\pi}{B}(L-\xi) - 1} \quad (2)$$

$$\sinh 2x = 2 \sinh x \cosh x$$

$$\cosh 2x - 1 = 2 \sinh^2 x.$$

$$\frac{\sinh 2x}{\cosh 2x - 1} = \frac{2 \sinh x \cosh x}{2 \sinh^2 x} = \frac{\cosh x}{\sinh x} \text{ als } \sinh x \neq 0$$

bovenstaande op (1) en (2) toegepast.

$$0 = u - \frac{1}{2B} \int_0^L \alpha \xi q(\xi) \frac{\cosh \frac{\pi}{B}\xi}{\sinh \frac{\pi}{B}\xi} \quad (3)$$

$$0 = u + \frac{1}{2B} \int_0^L \alpha \xi q(\xi) \frac{\cosh \frac{\pi}{B}(L-\xi)}{\sinh \frac{\pi}{B}(L-\xi)} \quad (4)$$

Als in vergelijking (3)

$\xi = 0$ dan is $\sinh \frac{\pi}{B}\xi = 0$ en hebben we
daar een deel, wat niet veroorloofd is.

Teruggaan naar vergelijking (1).

$\xi = 0$ geeft.

$$0 = u + \frac{1}{2\pi} \int_0^L \alpha \xi q(\xi) \frac{0}{1-1}$$

dus is integraal onbepaald.

Heeft ξ een kleine waarde \rightarrow

Dan geldt vergelijking (3)

$$\sigma = u - \frac{1}{2\pi} \int_0^L d\xi q(\xi) \frac{\cosh \frac{\pi}{B}\xi}{\sinh \frac{\pi}{B}\xi}$$

gaat ξ nu naar nul dan gaat.

$$\frac{\cosh \frac{\pi}{B}\xi}{\sinh \frac{\pi}{B}\xi} \text{ naar } \infty$$

Als $q(\xi)$ een bepaalde waarde heeft dan
gaat dus de integraal $\int_0^L d\xi q(\xi) \frac{\cosh \frac{\pi}{B}\xi}{\sinh \frac{\pi}{B}\xi}$

naar ∞ , waarna de gelijkheid niet meer
loopt dat σ is niet gelijk aan $u + \infty$.

Als $q(\xi)$ voor $\xi = 0$ gelijk aan nul is dan
wordt de waarde van $\int_0^L d\xi q(\xi) \frac{\cosh \frac{\pi}{B}\xi}{\sinh \frac{\pi}{B}\xi}$

onbepaald en kan dus de waarde u hebben
zodat de gelijkheid $\sigma = u - u$ wel loopt.

Eenzelfde rechnering kan men opzetten voor
de vergelijking (2) maar nu voor $\xi = L$

Hervolgt volgt dat $q(\xi)_{\xi=0} = 0$ en $q(\xi)_{\xi=L} = 0$.

Heeft de vergelijking $y = u.y - \frac{1}{2\pi} \int_0^L d\xi q(\xi) \times$

$$x \arctan \frac{\sinh \frac{\pi}{B}(x-\xi) \cos \frac{\pi}{B}y}{\cosh \frac{\pi}{B}(x-\xi) \sinh \frac{\pi}{B}y} \quad \text{nog punten}$$

waar deze functie onbepaald is?

voor $y \neq 0$

$\frac{\cos \frac{\pi}{B}y}{\sinh \frac{\pi}{B}y}$ heeft dan een bepaalde waarde.

Als $x = \xi$

$$\sinh \frac{\pi}{\beta}(x - \xi) = 0$$

$$\cosh \frac{\pi}{\beta}(x - \xi) = 1.$$

$$\psi = u.y - \int_0^y \alpha \xi q(\xi) \arctan 0$$

De integraal krijgt die waarde nu.

Als $y = 0$ dan wordt.

$$\frac{\cos \frac{\pi}{\beta} y}{\sin \frac{\pi}{\beta} y} = \infty = \frac{0}{0}$$

Als dan ook nog $x = \xi$.

dan wordt de integraal.

$$\int_0^\xi \alpha \xi q(\xi) \arctan \frac{0 \cdot 1}{1 \cdot 0} =$$

$$\int_\xi^L \alpha \xi q(\xi) \arctan (\text{iets onbepaald}) =$$

$y=0$ komt slechts in twee punten voor n.m.t.
 $x=0$ en $x=L$.

In deze twee punten is $q(\xi) = 0$.

Dus voor de punten $x=0$ en $x=L$ wordt de integraal $\int_0^L \alpha \xi q(\xi) \arctan (\text{iets bepaald}) = 0$.

De combinatie $y=0$ en $x=\xi$ geeft ook geen mogelijkheden.

De volgende combinatie $y=0$ en $x \neq \xi$

$$\int_0^\xi \alpha \xi q(\xi) \arctan \frac{\sinh \frac{\pi}{\beta}(x - \xi)}{\cosh \frac{\pi}{\beta}(x - \xi)} =$$

$$\int_0^\xi \alpha \xi q(\xi) \arctan \infty = \int_0^\xi \alpha \xi q(\xi) \cdot \frac{\pi}{2} =$$

$$\frac{\pi}{2} \underbrace{\int_0^\xi \alpha \xi q(\xi)}_0 = 0.$$

Er blijft nog over de combinatie:

$$y \neq 0 \text{ en } x \neq \xi$$

Nu heeft. zowel

$\frac{\sinh \frac{\pi}{B}(x-\xi)}{\cosh \frac{\pi}{B}(x-\xi)}$ als $\frac{\cos \frac{\pi}{B}y}{\sin \frac{\pi}{B}y}$ een bepaalde waarde zodat de arctan $\frac{\sinh \dots \cos \dots}{\cosh \dots \sin \dots}$ ook een bepaalde waarde krijgt.
waardoor de integraal $\int d\xi q(\xi) \arctan \dots$ ook een waarde krijgt. die bepaald is.

Het schip wordt voorgesteld door de contour die ontstaat uit een parallel stroom, continue putten- en bronnenverdeling en iets dat de schroef werking weergeeft. De schroef werking wordt voorgesteld door een punt met debiet Q_S op een afstand E_S van de voorkant van het schip (zie ook hoofdstuk IV: Schematisaties).

De algemene vergelijking van een stroomblijn is.

$$\psi = u \cdot y - \frac{1}{2\pi} \int_0^L d\xi q(\xi) \arctan \frac{\sinh \frac{\pi}{B}(x-\xi) \cos \frac{\pi}{B}y}{\cosh \frac{\pi}{B}(x-\xi) \sin \frac{\pi}{B}y} + \\ - \frac{Q_S}{2\pi} \arctan \frac{\sinh \frac{\pi}{B}(x-E_S) \cos \frac{\pi}{B}y}{\cosh \frac{\pi}{B}(x-E_S) \sin \frac{\pi}{B}y}.$$

De gewenste contour gaat door het punt (0.0).

$$\psi_c = u \cdot 0 - \frac{1}{2\pi} \int_0^L d\xi q(\xi) \arctan \frac{\sqrt{\frac{\pi}{B}}(0-\xi) \cos \frac{\pi}{B}\alpha}{\cosh \frac{\pi}{B}(0-\xi) \sin \frac{\pi}{B}\alpha} + \\ - \frac{Q_S}{2\pi} \arctan \frac{\sinh \frac{\pi}{B}(0-E_S) \cos \frac{\pi}{B}\alpha}{\cosh \frac{\pi}{B}(0-E_S) \sin \frac{\pi}{B}\alpha}.$$

$$\psi_c = 0 - 0 - \frac{q_s}{2\pi} \arctan \infty$$

$$\psi_c = - \frac{q_s}{2\pi} \cdot \frac{\pi}{2} = - \frac{q_s}{4}$$

De gevraagde contour is

$$\begin{aligned} \psi = \psi_c = u \cdot y_c - \frac{1}{2\pi} \int_0^L d\xi q(\xi) \arctan \frac{\sinh \frac{\pi}{B}(x_c - \xi) \cos \frac{\pi}{B} y_c}{\cosh \frac{\pi}{B}(x_c - \xi) \sin \frac{\pi}{B} y_c} + \\ - \frac{q_s}{2\pi} \arctan \frac{\sinh \frac{\pi}{B}(x_c - E_s) \cos \frac{\pi}{B} y_c}{\cosh \frac{\pi}{B}(x_c - E_s) \sin \frac{\pi}{B} y_c} = - \frac{q_s}{4} \end{aligned}$$

Zoals vergelijking nu geschreven is, is het ideaal

$\int_0^L d\xi q(\xi) \dots \dots \dots$ op te vatten als een stuk
met een oneindig groot aantal bronnen.

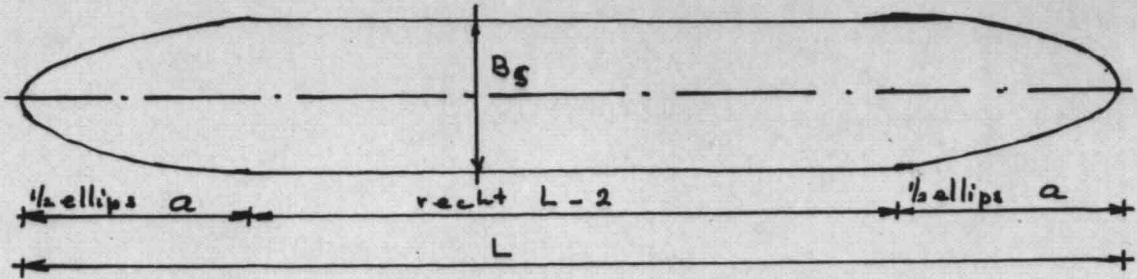
Met het oog op het oplossen van bovenstaande vergelijking met behulp van een computer, is het aantal onbekende bronnen en patronen terug gebracht tot n. n.m.l. $q_1, q_2, q_3, q_4 \dots \dots q_{n-2}, q_{n-1}$ en q_n resp. op afstand $\xi_1, \xi_2, \xi_3, \xi_4 \dots \dots \xi_{n-2}, \xi_{n-1}$ en ξ_n .

De vergelijking krijgt dan de volgende vorm

$$u \cdot y_c - \frac{1}{2\pi} \sum_{i=1}^n q_i \arctan \frac{\sinh \frac{\pi}{B}(x_c - \xi_i) \cos \frac{\pi}{B} y_c}{\cosh \frac{\pi}{B}(x_c - \xi_i) \sin \frac{\pi}{B} y_c} + \\ - \frac{q_s}{2\pi} \arctan \frac{\sinh \frac{\pi}{B}(x_c - E_s) \cos \frac{\pi}{B} y_c}{\cosh \frac{\pi}{B}(x_c - E_s) \sin \frac{\pi}{B} y_c} + \frac{q_s}{4} = 0$$

De contour ligt vast. bij een bepaalde x_c hoort een y_c zodat aan alle vanteuwen vast gestelde contour wordt volstaan.

De contour wordt voor gesteld door twee halve ellipsen (één aan de voorlaat de andere aan de achterzijde) verbonden met rechten.



De breedte B_s ligt vast. De lengte van de halve ellips is nog variabel. In het programma is de verhouding α en $1/2B_s$ aangegeven. Het programma om de onbekende bronnen en putten uit te rekenen is als volgt opgesteld.

De declaraties:

L = scheepslengte

STAP = stap grootte

K = kanaalbreedte

HST = halve stapsbreedte = STAP/2

HB = halve scheepsbreedte

BS = Scheepsbreedte

u = vaarsnelheid,

Dx = stap in x -richting ')

Dy = stap in y -richting ')

CW = verband tussen Dx en Dy ')

q_s = de liet van de schroef (als bron)

ES = Afstand tussen voorkeut schip en schroef

DE = hulp grootte.

I = index voor numerieke oplossing

J = index voor numerieke oplossing

AL = richting van de vaarlijn aan de contour

M = aantal enige bronnen en putten, die de continue verdeling vervangt.

S = middeling van x-coördinaten

T = middeling van y-coördinaten

V = index van shelheid.

W = index van shelheid.

TEL = telgrootheid

PAAR = aantal paren van een os waarvan de waarden van een os op de getal kaart gegeven zijn.

N = 1)

D = verhouding tussen lange en korte as van de ellips waarmee de voor- en achterkant van het schip worden voorgesteld.

E = De plaats van de bronnen.

B[1:m] = de sterkte van de onbekende bronnen en putten.

B[m+1] = het product van de matrix van de coëfficiënten van de onbekende putten en bronnen.

PI = 3.14159

C = hulpgrootheid = PI/k

P = hulpgrootheid = 2 * C = (2 * PI)/k

X = x-coördinaat

Y = y-coördinaat

Z = afstand tussen een bepaalde punt x en de schroef.

SI = hulpgrootheid = $\sin(c \cdot y)$

CO = hulpgrootheid = $\cos(c \cdot y)$

UXO = snelheid in het punt $x=0, y=0$.

UXL = snelheid in het punt $x=L, y=0$

UX = snelheid in x -richting.

UY = snelheid in y -richting

TG = verhouding van de snelheden in x -en y -richting = UY/UX

ZA = afstand tussen een punt x en een bepaalde bron.

A = coëfficiënten van de vergelijking van de strooilyn. $A[] \varphi[] + A[] \varphi[] + \dots$

VX = snelheid in x richting

VY = snelheid in y richting.

VT = $\sqrt{Vx^2 + Vy^2}$

NO = hulpgrootheid.

QI = hulpgrootheid.

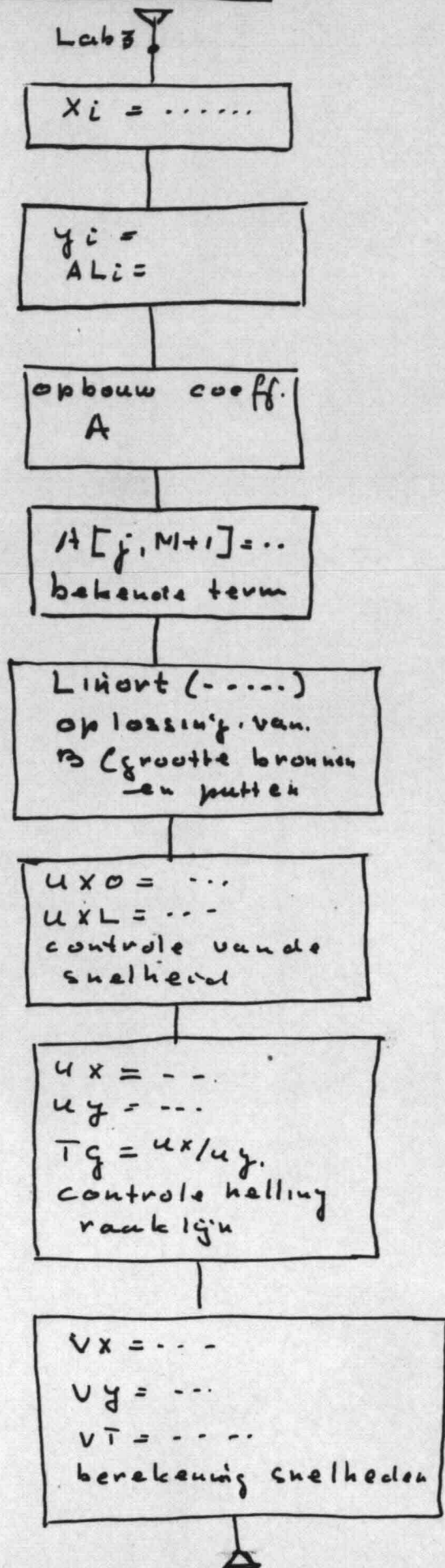
zc = hulpgrootheid.

1) deze declaraties worden niet gebruikt.

Door een andere verdeeling van de punten

x_1, x_2 etc. zijn ze over boord geworden.

Stroom schema.



Het aantal stappen moet men niet veel groter dan 50 nemen, wil men in classe I vallen.

Door dat de kromming aan de uiteinden van een schip het grootst is, is hier voor alle beide uitvindingen een kleinere stap groote getrokken dan voor het midden gedeelte.

In het voorjaar is steeds voor een schip gesproken maar die voorgeschreven contour kan van alles zijn. b.v. een brugpijler of schuinwings wanden in een uitwateringstuus.

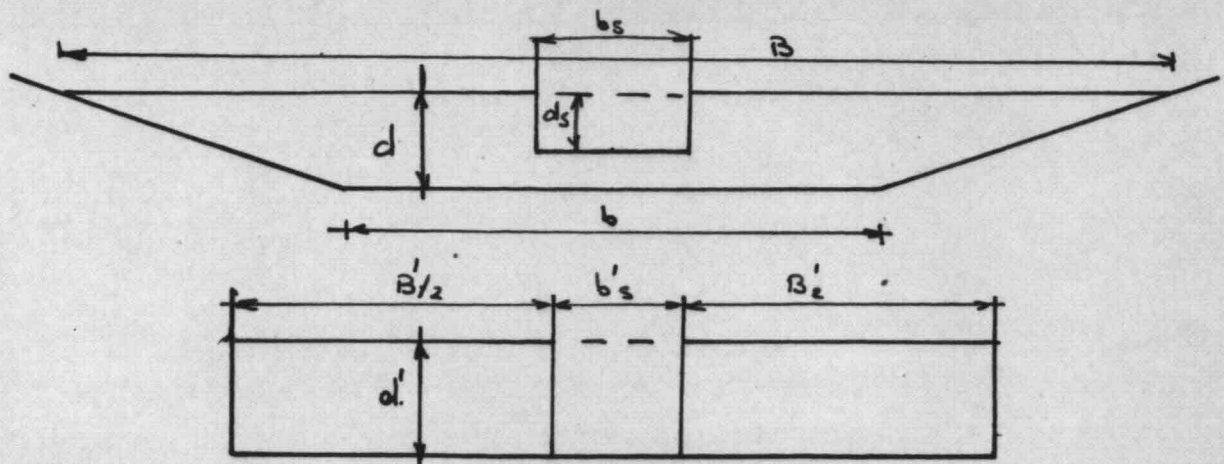
Bij deze laatst genoemde voorbeelden geldt nauwelijc wel, dat het schroefdebit uitgeschakeld moet worden. Dit uitgeschakelen is een één voudig te doen daar $\dot{Q}_i = 0$ te geven. Door $\dot{Q}_{s+1} - \dot{Q}_s$ en een contour van dat schip te geven krijgt men de strooming om een seslept schip. in een kanaal.

Bij gevraagd. is de computer uit voor voor een schip waarbij $\dot{Q}_s = 0$.

De laatste poging om ook goede uitvoer te krijgen voor het geval \dot{Q}_s = balansde warden, is mislukt. daardoor een haart niet gelezen is, zodat er een fout bericht volgt.

Voor het geval \dot{Q}_s = balansde warden, is mislukt. daardoor een haart niet gelezen is,

Hoofdstuk IV Schematisatie



Een kanaal zal meestal een trapezium vorm hebben, daar int' voorgaande hoofdstuk een potentiaalstroom berekening is uitgevoerd en deze berekening 2-dimensionaal is, zal men het alwars profiel moeten schematiseren tot een profiel dat over de waterdiepte constant is.

Bij de voorgaande berekening is de schematisatie als volgt uitgevoerd:

De diepte is gelijk gehouden $d = d'$

Het schip wordt gedacht als een smaller maar dieper schip. Zo diep dat de oerpgang gelijk is aan de waterdiepte. De scheepsbreedte wordt dan $b_s' = \frac{b_s \cdot d_s}{d'} = \frac{b_s \cdot d_s}{d} \quad (d = d')$.

En het overblijvende natte profiel blijft gelijk.

$$B' \cdot d' = \frac{B + b_s}{2} \cdot d - b_s \cdot d_s$$

Men kan zich afvragen is deze schematisatie de beste of zijn er betere schematisaties.

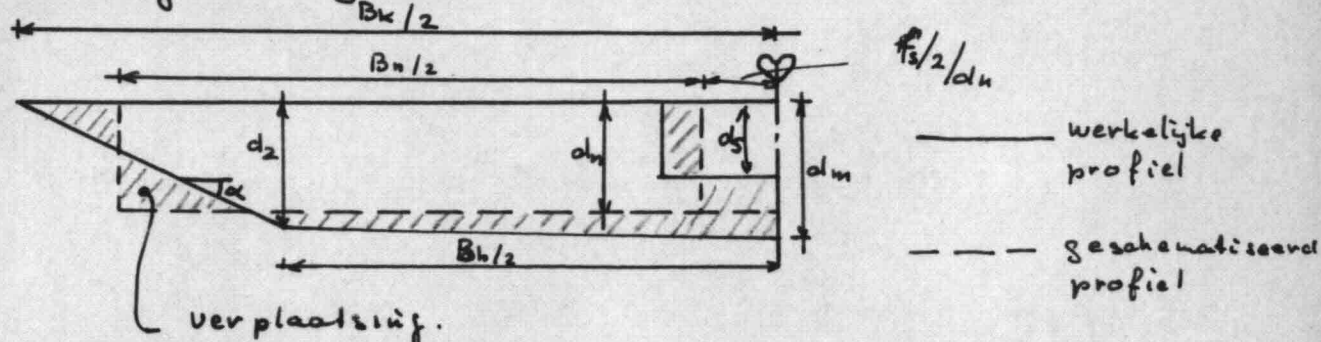
Er zijn echter 3 olinigen waar men aan moet voldoen:

1. Het alwatsprofiel van het schip moet gelijk blijven. ($f = b_s \times d_s$)
2. Het alwatsprofiel van het kanaal moet gelijk blijven
3. Het nieuwe profiel moet over de waterdiepte constant zijn.

Met deze eisen rekening krijgt men een lastprofil waarvan d' , ~~B'~~ en b' nog kunnen variëren met die beperking dat B' en b' 's beide functies van d' zijn.

Wat de ideale combinatie van d' , B' en b' 's is, is in dit afstudeerwerk niet bekijken.

Wel is bekijken de uitkomst van het nieuwe profiel als men ^{som van de} ~~de~~ verplaatsingen zo klein mogelijk houdt, uitgaande van het profiel van het Main - Donau kanaal wat bij de voorgaande berekening ook gebruikt is.



$$\text{Totale verplaatsing} = G$$

Nu d_n en b_n zo gezocht dat G minimaal is

Met andere woorden men moet de combinatie van α_{ln} en B_{ln} vinden die aan de volgende voorwaarde voldoet

$$\frac{\partial G}{\partial \alpha_{ln}} + \frac{\partial G}{\partial B_{ln}} \cdot \frac{d B_{ln}}{d \alpha_{ln}} = 0$$

$$G = \left(\frac{\alpha_m + \alpha_s - \alpha_{ln}}{2} \right) \frac{B_b}{2} + \frac{1}{2} \frac{(\alpha_2 - \alpha_{ln})^2}{1g \alpha} + \frac{1}{2} \left\{ \frac{B_k}{2} - \left(\frac{B_h}{2} + \frac{f_s}{2d_h} \right) \right\}^2 1g \alpha +$$

$$- \left(\frac{B_b}{2} + \frac{\alpha_2 - \alpha_{ln}}{1g \alpha} \right) \left\{ \frac{f_s}{2d_h} \right\}^2 1g \alpha + \frac{1}{2} \left\{ \frac{B_k}{2} - \left(\frac{B_h}{2} + \frac{f_s}{2d_h} \right) \right\}^2 1g \alpha$$

$$+ \frac{f_s}{2} - \frac{f_s \alpha_s}{2d_h} - \frac{f_s}{2} - \frac{f_s \alpha_l}{2d_h}$$

$$\frac{\partial G}{\partial \alpha_{ln}} + \frac{\partial G}{\partial B_{ln}} \cdot \frac{d B_{ln}}{d \alpha_{ln}} = 0$$

$$\frac{1g \alpha}{2} \left(\frac{B_h}{2} + \frac{f_s}{2d_h} - \frac{B_b}{2} - \frac{\alpha_2}{1g \alpha} + \frac{\alpha_{ln}}{1g \alpha} \right) - \frac{1g \alpha}{2} \left(\frac{B_k}{2} - \frac{B_h}{2} - \frac{f_s}{2d_h} \right) +$$

$$+ \left\{ - \frac{B_b}{2} - \frac{(\alpha_2 - \alpha_{ln})}{1g \alpha} + 1g \alpha \left(\frac{B_h}{2} + \frac{f_s}{2d_h} - \frac{B_k}{2} - \frac{\alpha_2}{1g \alpha} + \frac{\alpha_{ln}}{1g \alpha} \right) \times \right.$$

$$\times \left(- \frac{f_s}{2d_h^2} + \frac{1}{1g \alpha^2} \right) + 1g \alpha \left(\frac{B_k}{2} - \frac{B_h}{2} - \frac{f_s}{2d_h} \right) \left(\frac{f_s}{2d_h^2} \right) + \left. \frac{f_s \alpha_s}{d_h^2} \right\} \times$$

$$\times \left\{ - \frac{B_b \alpha_m}{2 B_{ln}^2} - \frac{B_k \alpha_2}{2 B_{ln}^2} + \frac{f_s}{B_{ln}^2} \right\} = 0$$

$\underbrace{\qquad\qquad\qquad}_{\text{Dit gedeelte stelt}} \frac{d B_{ln}}{d \alpha_{ln}} \text{ voor.}$

Verder uitgewerkt geeft dit een 4^egraads vergelijking in α_{ln} als men bij het uitwerken het verbandtussen B_{ln} en α_{ln} ingevuld heeft.

$$(B_k \alpha_2 + B_b \alpha_{ln})^2 + f_s (B_k \alpha_2 + B_b \alpha_{ln}) (-2 B_k) +$$

$$- \frac{8 f_s \alpha_s}{1g \alpha} \alpha_{ln} + \left(\frac{8 B_b}{1g \alpha} + \frac{16 \alpha_2}{f_s^2} \right) \alpha_{ln}^3 - \frac{16 \alpha_{ln}^4}{f_s^2} = 0$$

De gegevens van het Main-Donau kanaal zijn de volgende

$$B_b = 31.00 \text{ m}$$

$$B_k = 55.00 \text{ m}$$

$$d_2 = 4.00 \text{ m.}$$

$$d_m = 4.25 \text{ m.}$$

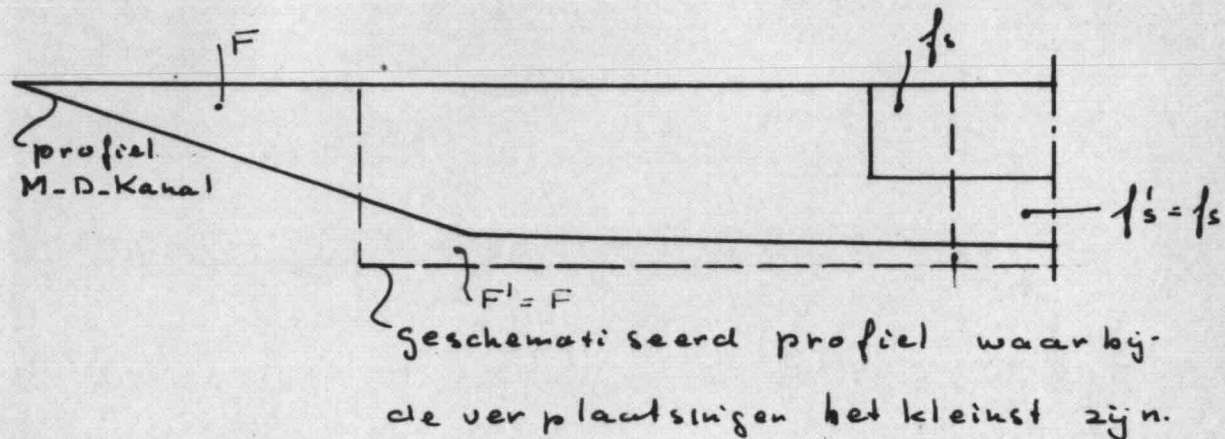
$$d_5 = 2.50 \text{ m}$$

$$f_s = 9.50 \times 2.50 \text{ m}^2$$

$$\lg \alpha = 1/3$$

De combinatie $d_m = 4.25 \text{ m}$ met bijbehorende

$B_n = 31.70 \text{ m}^2$ geeft de minimale verplaatsing.



Wat de beste schematisatie is, is niet verder bekijken.

Schematisatie Schroef en berekening schroefdeeltjes.

Gegevens van een schroef, zoals bij een schip
van het "Johann Welker" type, zijn ontleent
aan een artikel van Prof. Ir. J.H. Krietenmeyer :
"Transport in de toekomst is" uit Internationale
van 29 maart 1969.

Schroef diameter. $D = 1600 \text{ mm.}$

Speed $H = 1600 \text{ mm}$ op $0,7 R$

$$H/D = 1.0.$$

$$F_a/F = 0,55$$

Aantal bladen 4.

Aan het boek - Weerstand en Voortstuwing van
Schepen - aoor. Dr.Ir. W.P.A. van Lammeren is
de bijgevoegde schroef karakteristiek van een
vrijvaren die schroef ontleend.

Voor bovenstaande gegevens geldt die met een
puntje aangegeven krommen.

$$\text{De stuwwracht } S = \Delta p \times F$$

op is drukverschil tussen voorland en achter
kant van de schroef

$$S = \rho c_a \quad c_a = \text{snelheidvermeerdering.}$$

$$\rho = F v, \quad v = \text{snelheid t.p.v. de schroef.}$$

v is snelheid van het water t.p.v. schip.

Het volgende is ontleent aan het reeds op
diese pag. genoemde boek - Weerstand en Voortstuwing
van Schepen.

$$C_a = \frac{S}{\rho Q} \quad V_1 = V_e + \frac{C_a}{2}$$

$$Q = F(V_e + \frac{S}{2\rho Q})$$

$$Q = FV_e + \frac{FS}{2\rho g}$$

$$Q^2 - FV_e Q - \frac{FS}{2\rho} = 0$$

$$Q = \frac{FV_e \pm \sqrt{F^2 V_e^2 + 4FS/\rho}}{2}$$

uit physische overwegingen voldoet alleen het + teken (- teken geeft neg. debiet).

$$Q = \frac{1}{2} F V_e + \frac{1}{2} \sqrt{F^2 V_e^2 + \frac{2FS}{\rho}}$$

$$K_s = \frac{S}{\rho D^4 n^2} \quad n = \text{toerental}$$

$$\Lambda = \frac{V_e}{nD}$$

Het verband tussen K_s en Λ is in de karakteristieke gegeven

$$Q = \frac{1}{2} F V_e + \frac{1}{2} \sqrt{F^2 V_e^2 + 2FD^4 n^2 k_s}$$

Van bovenstaande vergelijking is Q te bepalen als k_s bekend is. En k_s is te bepalen uit grafiek als Λ/L bekend is, uit alles bij gegeven F , V_e en D/n .

$$\Lambda \text{ is te bepalen uit } \frac{V_e}{nD} = \Lambda$$

In Mitteilungsblatt der Bundesanstalt für Wasserbau Nr 27. zijn een serie proeven opgenomen waarbij V en n gegeven zijn, zodat voor deze gevallen Q te berekennen is.

Tevens is in het genoemde blad het vermogen
gegeven.

Vermogen in $P_k = \frac{N_w}{75}$, waarbij N_w het
vermogen in kgm/sec is.

$$N_w = 2\pi M n \quad M = \text{askoppel in kgm.}$$

Verder is:

$K_m = \frac{M}{\rho D^5 n^2}$ zodat. K_m bij een gegeven
vermogen en diameter en toerental
te berekenen is. Ook tussen K_m en k_s bestaat
een verband zoals aangegeven is in de schroef-
karakteristiek.

Dus Q is op twee manieren te berekenen nam.
uit gegeven van de watersnelheid. Waarvan het
water de schroef intreft of uitgegaan van
het vermogen.

Neemt men aan dat de stroom rond het schip
gelijkmatig verdeeld is, dan is de intreesnelheid
in de schroef $f = \frac{V \cdot F}{(F-f)}$ waarin V de
snelheid van het water voor-en achter het
schip tot het schip is.

Neemt men één bepaalde proef en berekent men
de Q uit het vermogen en de watersnelheid
dan komen daar twee verschillende waarden
voor Q uit. De waarde berekend uit het
vermogen is groter dan die uit de snelheid

berekende waarde van Q . Dit laatste is te verklaren uit het feit dat de intree snelheid van de schroef. te laag is. De werkelijke intreesnelheid is groter dan berekende gelijkmatige verdeelde snelheid daarom dat de gelijkmatige verdelening niet opgaat.

Het schroefdebit is dan ook berekend uitgaande van het vermogen.

Voor de proeven 3.1 t/m 3.7. uit Mitteilungsblatt nr 27 zijn dat de in onderstaande tabel opgenomen waarden.

proef.	V m/s	n. u/min	P.D. Pk	K _m	k _s	Q uitks m ³ /sec.	Q uit. v.
3.1	1.76	100	1.667	0.00063	0.020	6.07	4.68
3.2	1.91	92	1.533	0.0120	0.042	5.41	4.58
3.3	2.39	157	2.62	0.00720	0.010	9.36	6.86
3.4	2.73	190	3.17	0.00750	0.012	11.27	8.09
3.5	2.89	218	3.64	0.00753	0.012	12.94	9.09
3.6	3.07	238	3.97	0.00763	0.012	14.06	9.70
3.7	3.203	275	4.58	0.00781	0.012	16.24	10.79

De schroef zuigt het water alzijdig aan en spuit het in een straal achter weg.

In het programma is de aanzuiging benadrukt door een bron met negatief debiet.

De wegversnelling door een parallelstroem met een kleine breedte.

Denk men dat energie uit wisseling tussen schroefstraat en omliggende water enige meters achter het schip dan zal de schroefstraal zelf de stroming rond het schip niet beïnvloeden, zodat de invloed van deze extra parallelstroom in het programma te verwaarlozen is.

Vergelijkt men nu het debiet voor en achter het schip dan zal men een verschil vinden. Men zal achter een schip vinden dat kleiner is en wel zoveel kleiner als het debiet van de schroef is.

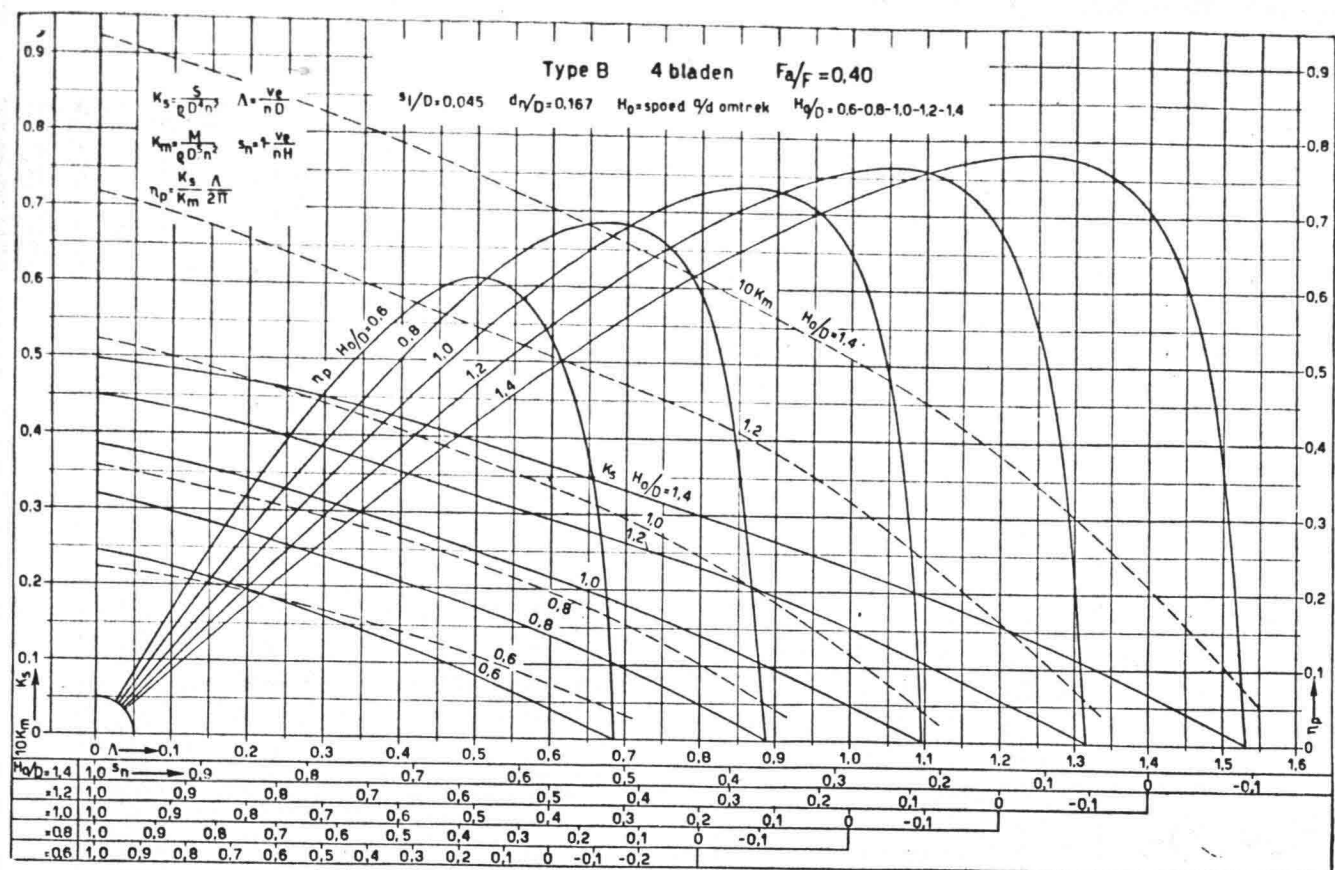


FIG. 109. RESULTATEN VAN DE VRIJVARENDE VIERBLADIGE SCHROEVEN, TYPE B.4.40

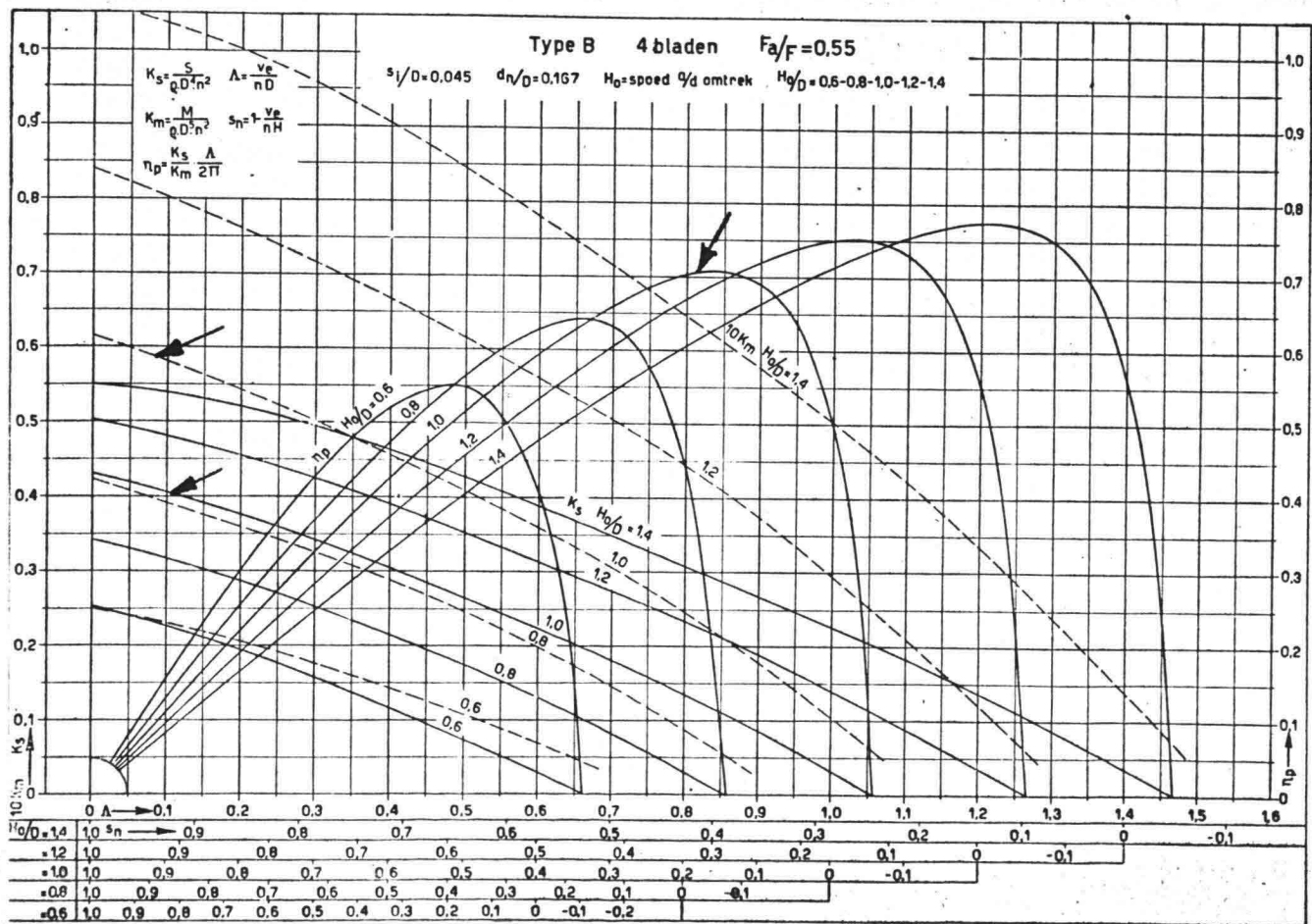
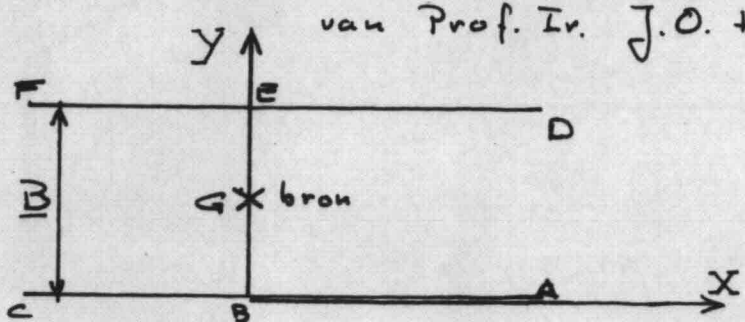


FIG. 110. RESULTATEN VAN DE VRIJVARENDE VIERBLADIGE SCHROEVEN, TYPE B.4.55

Bijlage I

Voor de berekening van de potentiaal- en stroomfuncties in water met een begrenzde breedte is gebruik gemaakt van complexe afbeeldingen.

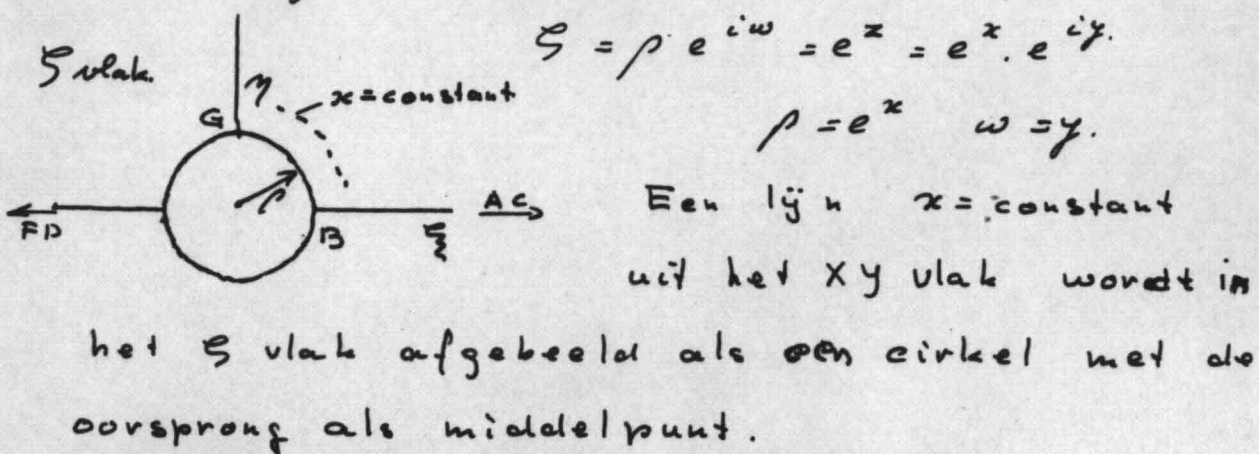
Literatuur: „Stromingsleer” voortgezette cursus
van Prof. Ir. J.O. Hinze.



Is het mogelijk om de stroming ten gevolge van een bron in een kanaal met een bepaalde breedte in een ander vlak af te beelden zodat in dat andere vlak de stroming alsof zelfs de vorm heeft als de stroming ten gevolge van een bron in water met onbegrenzde breedte.

De transformatie ζ (zeta) = e^z .

$$z = x + iy \quad i = \sqrt{-1}$$



Voorbeeld. de lijn $x=0 \rightarrow \rho=1$

Lijnen $y = \text{constant}$ uit het Xy vlak worden afgebeeld als rechte lijnen gaande door de oorsprong van het ζ vlak.

In bovenstaande zijn x en y dimensie los

$x = \frac{\pi}{\beta} X$ $y = \frac{\pi}{\beta} Y$ X en Y hebben de dimensie van een lengte.

$$\zeta = e^{\frac{\pi}{\beta} X} e^{i \frac{\pi}{\beta} Y}$$

Dus punten uit de strook

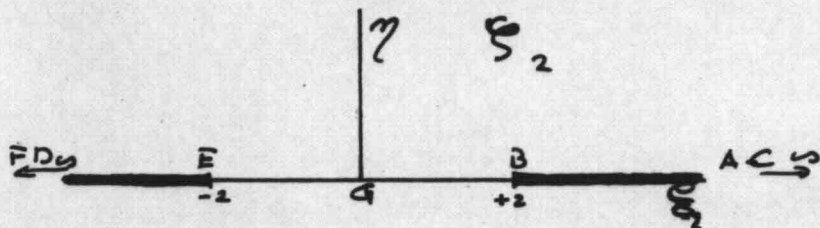
$$-\infty \leq X \leq +\infty$$

$0 \leq Y \leq B$ kunnen worden afgebeeld
in het ζ vlak behalve in dat deel van het

ζ vlak waar $\rho < 1$ is.

Deze eenheidscirkel $\rho = 1$ wordt tot een rechte getransformeerd door de transformatie

$$\zeta_2 = \zeta_1 + \frac{1}{\zeta_1} = e^z + \frac{1}{e^z} = e^z + e^{-z} = 2 \cosh z$$



De lijn ABC uit Xy vlak wordt afgebeeld.

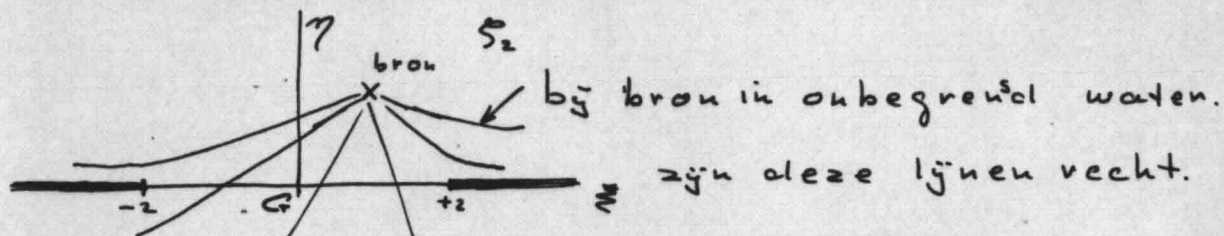
op de ζ -as en wel van $+2$ tot $+\infty$.

De lijn DEF wordt eveneens op de ζ -as afgebeeld en wel van -2 tot $-\infty$.

De γ -as uit het ζ_2 vlak is de lijn $y = B/2$ uit het Xy vlak.

Wanneer nu in G een bron geplaatst wordt zal deze bron in het ξ_2 vlak dezelfde stroom- en potentiaallijnen geven als een bron in onbegrensd water. Een verplaatsing van de bron naar een ander punt van de ξ_2 -as zal de stroming niet beïnvloeden.

Staat de bron in elk ander punt van het ξ_2 vlak dan zal de stroming ~~wel~~^{door} de wanden van $+z$ tot $+\infty$ en van $-z$ tot $-\infty$ beïnvloed worden.



Als in G of een ander punt van het ξ_2 vlak een alipool of wervel geplaatst wordt dan geeft dit niet hetzelfde beeld als een alipool of wervel in onbegrensd water, dit is weer de invloed van de wanden die van $-\infty$ tot $-z$ en van $+z$ tot $+\infty$ in het ξ_2 vlak afgebeeld worden.

Transformatie van een bron in G geplaatst is dus wel mogelijk en wel met de transformatie $\xi = 2 \cosh \frac{\pi}{B} z$. (z niet dimensie loos)

$$z = x + iy.$$

De complexe potentiaalfunctie is $\chi = \frac{Q}{2\pi} \ln \xi$

$$\chi = \frac{Q}{2\pi} \ln \left(2 \cosh \frac{\pi}{B} z \right)$$

$$2 \cosh \frac{\pi}{B} z = 2 \cosh \frac{\pi}{B} (x + iy)$$

$$2 \cosh \left(\frac{\pi}{B} x + \frac{\pi}{B} iy \right) = e^{\frac{\pi}{B} x + i \frac{\pi}{B} y} + e^{-\frac{\pi}{B} x - i \frac{\pi}{B} y}$$

$$\cos \frac{\pi}{B} y = \frac{e^{i \frac{\pi}{B} y} + e^{-i \frac{\pi}{B} y}}{2}$$

$$\sin \frac{\pi}{B} y = \frac{e^{i \frac{\pi}{B} y} - e^{-i \frac{\pi}{B} y}}{2}$$

$$2 \cosh \left(\frac{\pi}{B} x + \frac{\pi}{B} iy \right) = e^{\frac{\pi}{B} x} \cdot \left(e^{i \frac{\pi}{B} y} + e^{-i \frac{\pi}{B} y} \right) =$$

$$e^{\frac{\pi}{B} x} \left(\frac{e^{i \frac{\pi}{B} y} + e^{-i \frac{\pi}{B} y}}{2} + \frac{e^{i \frac{\pi}{B} y} - e^{-i \frac{\pi}{B} y}}{2} \right) +$$

$$e^{-\frac{\pi}{B} x} \left(\frac{e^{i \frac{\pi}{B} y} + e^{-i \frac{\pi}{B} y}}{2} - \frac{e^{i \frac{\pi}{B} y} - e^{-i \frac{\pi}{B} y}}{2} \right) =$$

$$e^{\frac{\pi}{B} x} \left(\cos \frac{\pi}{B} y + i \sin \frac{\pi}{B} y \right) + e^{-\frac{\pi}{B} x} \left(\cos \frac{\pi}{B} y - i \sin \frac{\pi}{B} y \right)$$

$$K = \frac{Q}{2\pi} \ln \left(2 \cosh \frac{\pi}{B} z \right)$$

$$K = \frac{Q}{2\pi} \ln \left\{ e^{\frac{\pi}{B} x} \left(\cos \frac{\pi}{B} y + i \sin \frac{\pi}{B} y \right) + e^{-\frac{\pi}{B} x} \left(\cos \frac{\pi}{B} y - i \sin \frac{\pi}{B} y \right) \right\}$$

$$\text{Hier van is } \frac{Q}{2\pi} \ln \left\{ \cos \frac{\pi}{B} y \left(e^{\frac{\pi}{B} x} + e^{-\frac{\pi}{B} x} \right) \right\} =$$

$\frac{Q}{2\pi} \ln \left\{ 2 \cos \frac{\pi}{B} y \cosh \frac{\pi}{B} x \right\}$ het reele deel

$$\text{en } \frac{Q}{2\pi} \ln \left\{ \sin \frac{\pi}{B} y \left(e^{\frac{\pi}{B} x} - e^{-\frac{\pi}{B} x} \right) \right\} =$$

$\frac{Q}{2\pi} \ln \left\{ 2 \sin \frac{\pi}{B} y \sinh \frac{\pi}{B} x \right\}$ het imag. deel

$$U_x = \operatorname{Re} \left(\frac{\partial K}{\partial z} \right)$$

$$U_y = -\operatorname{Im} \left(\frac{\partial K}{\partial z} \right)$$

$$X = \frac{Q}{2\pi} \ln \left(z \cosh \frac{\pi}{B} z \right)$$

$$\frac{\partial X}{\partial z} = \frac{Q}{2\pi} \frac{\pi}{B} \frac{z \sinh \frac{\pi}{B} z}{z \cosh \frac{\pi}{B} z} = \frac{Q}{2B} \cdot \frac{\sinh \frac{\pi}{B} z}{\cosh \frac{\pi}{B} z}$$

$$\frac{\partial X}{\partial z} = \frac{Q}{2B} \cdot \frac{e^{\frac{\pi}{B} z} (\cos \frac{\pi}{B} y + i \sin \frac{\pi}{B} y) - e^{-\frac{\pi}{B} z} (\cos \frac{\pi}{B} y - i \sin \frac{\pi}{B} y)}{e^{\frac{\pi}{B} z} (\cos \frac{\pi}{B} y + i \sin \frac{\pi}{B} y) + e^{-\frac{\pi}{B} z} (\cos \frac{\pi}{B} y - i \sin \frac{\pi}{B} y)},$$

$$= \frac{Q}{2B} \cdot \frac{\sinh \frac{\pi}{B} z \cos \frac{\pi}{B} y + i \cosh \frac{\pi}{B} z \sin \frac{\pi}{B} y}{\cosh \frac{\pi}{B} z \cos \frac{\pi}{B} y + i \sinh \frac{\pi}{B} z \sin \frac{\pi}{B} y} =$$

$$= \frac{Q}{2B} \frac{(\sinh \frac{\pi}{B} z \cos \frac{\pi}{B} y + i \cosh \frac{\pi}{B} z \sin \frac{\pi}{B} y)}{(\cosh \frac{\pi}{B} z \cos \frac{\pi}{B} y + i \sinh \frac{\pi}{B} z \sin \frac{\pi}{B} y)} \times$$

$$\times \frac{(\cosh \frac{\pi}{B} z \cos \frac{\pi}{B} y - i \sinh \frac{\pi}{B} z \sin \frac{\pi}{B} y)}{(\cosh \frac{\pi}{B} z \cos \frac{\pi}{B} y - i \sinh \frac{\pi}{B} z \sin \frac{\pi}{B} y)} =$$

$$= \frac{Q}{2\pi} \frac{\cos^2 \frac{\pi}{B} y (\sinh \frac{\pi}{B} z \cosh \frac{\pi}{B} z) + \sin^2 \frac{\pi}{B} y (\sinh \frac{\pi}{B} z \cosh \frac{\pi}{B} z) +}{\cosh^2 \frac{\pi}{B} z \cos^2 \frac{\pi}{B} y + \sinh^2 \frac{\pi}{B} z \sin^2 \frac{\pi}{B} y} + i \frac{\cosh^2 \frac{\pi}{B} z (\sin \frac{\pi}{B} y \cos \frac{\pi}{B} y) - \sinh^2 \frac{\pi}{B} z (\sin \frac{\pi}{B} y \cos \frac{\pi}{B} y)}{\cosh^2 \frac{\pi}{B} z \cos^2 \frac{\pi}{B} y + \sinh^2 \frac{\pi}{B} z \sin^2 \frac{\pi}{B} y},$$

$$\frac{\partial X}{\partial z} = \frac{Q}{2B} \frac{\sinh \frac{\pi}{B} z \cosh \frac{\pi}{B} y + i \sin \frac{\pi}{B} y \cos \frac{\pi}{B} y}{\cosh^2 \frac{\pi}{B} z \cos^2 \frac{\pi}{B} y + \sinh^2 \frac{\pi}{B} z \sin^2 \frac{\pi}{B} y}$$

Re. deel:

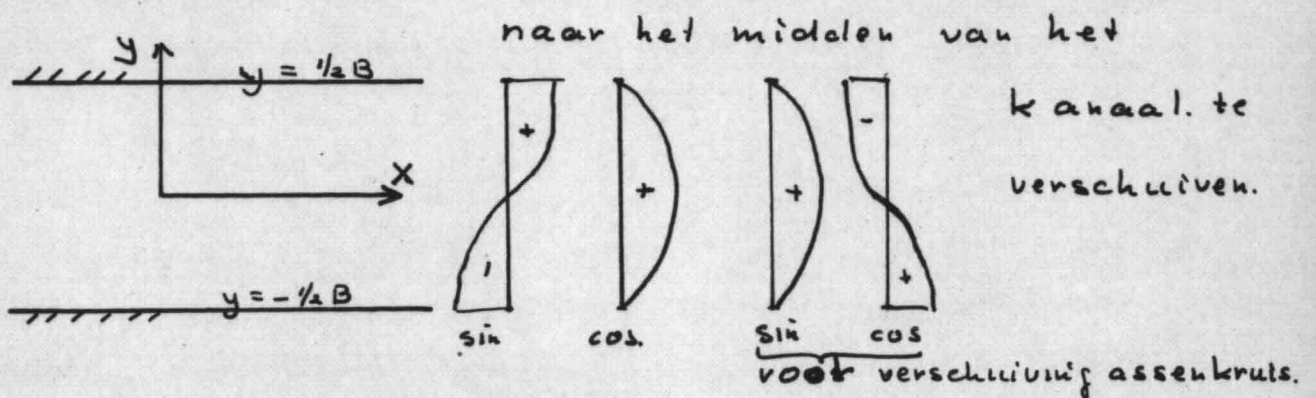
$$\frac{Q}{2\pi} \frac{\sinh \frac{\pi}{B} z \cosh \frac{\pi}{B} y}{\cosh^2 \frac{\pi}{B} z \cos^2 \frac{\pi}{B} y + \sinh^2 \frac{\pi}{B} z \sin^2 \frac{\pi}{B} y} = U_x.$$

Img. deel:

$$\frac{Q}{2\pi} \frac{\sin \frac{\pi}{B} y \cos \frac{\pi}{B} y}{\cosh^2 \frac{\pi}{B} z \cos^2 \frac{\pi}{B} y + \sinh^2 \frac{\pi}{B} z \sin^2 \frac{\pi}{B} y} = -U_y.$$

Bij de bovenstaande afleiding valt de x-as van het assenkruijs samen met een zijkant van het kanaal en de andere zijkant valt samen met de lijn $y = B$.

Omdat in deze studie steeds een schip middelen in het kanaal bekijken is, is het prettiger om de X-as



By de verschuiving gaat. sin over in cos.
en cos wordt -sin.

$$u_x = \frac{Q}{2B} \frac{\sinh \frac{\pi}{B} x \cosh \frac{\pi}{B} x}{\cosh^2 \frac{\pi}{B} x \cos^2 \frac{\pi}{B} (y - \frac{1}{2} B) + \sinh^2 \frac{\pi}{B} x \sin^2 \frac{\pi}{B} (y - \frac{1}{2} B)}$$

$$u_x = \frac{Q}{2B} \frac{\sinh \frac{\pi}{B} x \cosh \frac{\pi}{B} x}{\cosh^2 \frac{\pi}{B} x \sin^2 \frac{\pi}{B} y + \sinh^2 \frac{\pi}{B} x \cos^2 \frac{\pi}{B} y}$$

$$u_y = - \frac{Q}{2B} \frac{\sin \frac{\pi}{B} (y - \frac{1}{2} B) \cos \frac{\pi}{B} (y - \frac{1}{2} B)}{\cosh^2 \frac{\pi}{B} x \cos^2 \frac{\pi}{B} (y - \frac{1}{2} B) + \sinh^2 \frac{\pi}{B} x \sin^2 \frac{\pi}{B} (y - \frac{1}{2} B)}$$

$$u_y = \frac{Q}{2B} \frac{\cos \frac{\pi}{B} y \sin \frac{\pi}{B} y}{\cosh^2 \frac{\pi}{B} x \sin^2 \frac{\pi}{B} y + \sinh^2 \frac{\pi}{B} x \cos^2 \frac{\pi}{B} y}$$

$$\text{De noemer. } \cosh^2 \frac{\pi}{B} x \sin^2 \frac{\pi}{B} y + \sinh^2 \frac{\pi}{B} x \cos^2 \frac{\pi}{B} y =$$

$$\cosh^2 \frac{\pi}{B} x (1 - \cos^2 \frac{\pi}{B} y) + \sinh^2 \frac{\pi}{B} x \cos^2 \frac{\pi}{B} y = ,$$

$$\cosh^2 \frac{\pi}{B} x + \cos^2 \frac{\pi}{B} y (\underbrace{\sinh^2 \frac{\pi}{B} x - \cosh^2 \frac{\pi}{B} x}_{=1}) =$$

$$\cosh^2 \frac{\pi}{B} x - \cos^2 \frac{\pi}{B} y =$$

$$\frac{\cosh 2 \frac{\pi}{B} x + 1}{2} - \frac{\cos 2 \frac{\pi}{B} y + 1}{2} = \frac{1}{2} (\cosh 2 \frac{\pi}{B} x - \cos 2 \frac{\pi}{B} y).$$

$$\text{teller } u_x \cdot \sinh \frac{\pi}{B} x \cosh \frac{\pi}{B} x = \frac{1}{2} \sinh \frac{2 \pi}{B} x,$$

$$\text{teller } u_y \sin \frac{\pi}{B} y \cos \frac{\pi}{B} y = \frac{1}{2} \sin \frac{2 \pi}{B} y.$$

$$U_x = \frac{\partial}{\partial z} \frac{\sinh \frac{2\pi}{B} x}{\cosh \frac{2\pi}{B} x - \cos \frac{2\pi}{B} y} = \frac{\partial}{\partial z} \frac{\sinh \frac{\pi}{B} x \cosh \frac{\pi}{B} x}{\cosh^2 \frac{\pi}{B} x \sin^2 \frac{\pi}{B} y + \sinh^2 \frac{\pi}{B} x \cos^2 \frac{\pi}{B} y}$$

$$U_y = \frac{\partial}{\partial z} \frac{\sin \frac{2\pi}{B} y}{\cosh \frac{2\pi}{B} x - \cos \frac{2\pi}{B} y} = \frac{\partial}{\partial z} \frac{\sin \frac{\pi}{B} y \cos \frac{\pi}{B} y}{\cosh^2 \frac{\pi}{B} x \sin^2 \frac{\pi}{B} y + \sinh^2 \frac{\pi}{B} x \cos^2 \frac{\pi}{B} y}$$

$$U_x = \frac{\partial \phi}{\partial x}$$

$$\phi = \int U_x dx.$$

$$\phi = \int \frac{\partial}{\partial z} \frac{\sinh \frac{\pi}{B} x \cosh \frac{\pi}{B} x}{\cosh^2 \frac{\pi}{B} x \sin^2 \frac{\pi}{B} y + \sinh^2 \frac{\pi}{B} x \cos^2 \frac{\pi}{B} y} dx.$$

$$\phi = \frac{\partial}{\partial z} \int \frac{(\sin^2 \frac{\pi}{B} y + \cos^2 \frac{\pi}{B} y) \sinh \frac{\pi}{B} x \cosh \frac{\pi}{B} x}{\cosh^2 \frac{\pi}{B} x \sin^2 \frac{\pi}{B} y + \sinh^2 \frac{\pi}{B} x \cos^2 \frac{\pi}{B} y} dx$$

$$= \frac{\partial}{\partial z} \frac{\frac{B}{\pi} \frac{1}{2} \int \frac{2 \sin^2 \frac{\pi}{B} y \cosh \frac{\pi}{B} x \sinh \frac{\pi}{B} x + 2 \cos^2 \frac{\pi}{B} y \cosh \frac{\pi}{B} x \sinh \frac{\pi}{B} x}{\cosh^2 \frac{\pi}{B} x \sin^2 \frac{\pi}{B} y + \sinh^2 \frac{\pi}{B} x \cos^2 \frac{\pi}{B} y}}{dx}$$

$$\phi = \frac{\partial}{\partial z} \frac{\frac{1}{2} \int \frac{\partial (\cosh^2 \frac{\pi}{B} x \sin^2 \frac{\pi}{B} y + \sinh^2 \frac{\pi}{B} x \cos^2 \frac{\pi}{B} y)}{\cosh^2 \frac{\pi}{B} x \sin^2 \frac{\pi}{B} y + \sinh^2 \frac{\pi}{B} x \cos^2 \frac{\pi}{B} y}}{dx}$$

$$\phi = \frac{\partial}{\partial z} \frac{1}{2} \ln \left(\cosh^2 \frac{\pi}{B} x \sin^2 \frac{\pi}{B} y + \sinh^2 \frac{\pi}{B} x \cos^2 \frac{\pi}{B} y \right).$$

or

$$\phi = \frac{\partial}{\partial z} \frac{1}{2} \ln \frac{1}{2} \left(\cosh \frac{2\pi}{B} x - \cos \frac{2\pi}{B} y \right).$$

$$\psi = \int U_x dy$$

$$\psi = \frac{\partial}{\partial z} \int \frac{\sinh \frac{\pi}{B} x \cosh \frac{\pi}{B} x}{\cosh^2 \frac{\pi}{B} x \sin^2 \frac{\pi}{B} y + \sinh^2 \frac{\pi}{B} x \cos^2 \frac{\pi}{B} y} dy.$$

$$\partial (\arctan a) = \frac{1}{1+a^2} da.$$

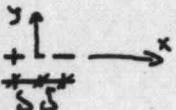
$$\psi = \frac{Q}{2\pi} \int \frac{\sinh \frac{\pi}{B}x \cosh \frac{\pi}{B}x}{\cosh^2 \frac{\pi}{B}x \sin^2 \frac{\pi}{B}y + \sinh^2 \frac{\pi}{B}x \cos^2 \frac{\pi}{B}y} dy$$

$$\psi = \frac{Q}{2\pi} \int \frac{\sinh \frac{\pi}{B}x \cosh \frac{\pi}{B}x}{\cosh^2 \frac{\pi}{B}x \sin^2 \frac{\pi}{B}y} dy + \frac{\sinh^2 \frac{\pi}{B}x \cos^2 \frac{\pi}{B}y}{\cosh^2 \frac{\pi}{B}x \sin^2 \frac{\pi}{B}y}$$

$$\psi = - \frac{Q}{2\pi} \frac{e}{\pi} \int \frac{cl \left(\frac{\sinh \frac{\pi}{B}x \cos \frac{\pi}{B}y}{\cosh \frac{\pi}{B}x \sin \frac{\pi}{B}y} \right)}{1 + \frac{\sinh^2 \frac{\pi}{B}x \cos^2 \frac{\pi}{B}y}{\cosh^2 \frac{\pi}{B}x \sin^2 \frac{\pi}{B}y}}$$

$$\psi = - \frac{Q}{2\pi} \arctan \frac{\sinh \frac{\pi}{B}x \cos \frac{\pi}{B}y}{\cosh \frac{\pi}{B}x \sin \frac{\pi}{B}y}$$

Een dipool is opgebouwd uit een put en een bron met dezelfde sterkte Q op een zeer kleine afstand.



$$\phi_{dipool} = \phi_{bron} + \phi_{put}$$

$$\phi_{dipool} = \frac{Q}{2\pi} \frac{1}{2} \ln \left\{ \cosh^2 \frac{\pi}{B}(x+\delta) \sin^2 \frac{\pi}{B}y + \sinh^2 \frac{\pi}{B}(x+\delta) \times \cos^2 \frac{\pi}{B}y \right\} - \frac{Q}{2\pi} \frac{1}{2} \ln \left\{ \cosh^2 \frac{\pi}{B}(x-\delta) \sin^2 \frac{\pi}{B}y + \sinh^2 \frac{\pi}{B}(x-\delta) \cos^2 \frac{\pi}{B}y \right\}$$

$$\phi = \frac{Q}{2\pi} \frac{1}{2} \ln \left\{ \cosh^2 \frac{\pi}{B}(x+\delta) - \cos^2 \frac{\pi}{B}y \right\} + - \frac{Q}{2\pi} \frac{1}{2} \ln \left\{ \cosh^2 \frac{\pi}{B}(x-\delta) - \cos^2 \frac{\pi}{B}y \right\}$$

$$\phi = \frac{Q}{2\pi} \frac{1}{2} \ln \frac{\cosh^2 \frac{\pi}{B}(x+\delta) - \cos^2 \frac{\pi}{B} y}{\cosh^2 \frac{\pi}{B}(x-\delta) - \cos^2 \frac{\pi}{B} y}$$

$$\cos^2 \alpha = \frac{1 + \cos 2\alpha}{2}$$

$$\cosh^2 \alpha = \frac{1 + \cosh 2\alpha}{2}$$

$$\phi = \frac{Q}{2\pi} \frac{1}{2} \ln \frac{\frac{1 + \cosh \frac{2\pi}{B}(x+\delta)}{2} - \frac{1 + \cos \frac{2\pi}{B} y}{2}}{\frac{1 + \cosh \frac{2\pi}{B}(x-\delta)}{2} - \frac{1 + \cos \frac{2\pi}{B} y}{2}}$$

$$\phi = \frac{Q}{2\pi} \frac{1}{2} \ln \frac{\cosh \frac{2\pi}{B}(x+\delta) - \cos \frac{2\pi}{B} y}{\cosh \frac{2\pi}{B}(x-\delta) - \cos \frac{2\pi}{B} y}$$

$$\phi = \frac{Q}{2\pi} \frac{1}{2} \ln \left(\frac{\cosh \frac{2\pi}{B} x \cosh \frac{2\pi}{B} \delta + \sinh \frac{2\pi}{B} x \sinh \frac{2\pi}{B} \delta - \cos \frac{2\pi}{B} y}{\cosh \frac{2\pi}{B} x \cosh \frac{2\pi}{B} \delta - \sinh \frac{2\pi}{B} x \sinh \frac{2\pi}{B} \delta - \cos \frac{2\pi}{B} y} \right)$$

$$\phi = \frac{Q}{2\pi} \frac{1}{2} \ln \left(1 + \frac{2 \sinh \frac{2\pi}{B} x \sinh \frac{2\pi}{B} \delta}{\cosh \frac{2\pi}{B}(x-\delta) - \cos \frac{2\pi}{B} y} \right)$$

$$\ln (1 + \alpha) \approx \Delta.$$

$$\frac{2 \sinh \frac{2\pi}{B} x \sinh \frac{2\pi}{B} \delta}{\cosh \frac{2\pi}{B}(x-\delta) - \cos \frac{2\pi}{B} y} = \Delta$$

$$\phi = \frac{Q}{2\pi} \frac{1}{2} \frac{2 \sinh \frac{2\pi}{B} x \sinh \frac{2\pi}{B} \delta}{\cosh \frac{2\pi}{B}(x-\delta) - \cos \frac{2\pi}{B} y}$$

δ = zeer klein, en is ten opzichte van x te verwaarlozen.

Door dat δ klein is. $\Rightarrow \sinh \frac{2\pi}{B} \delta \approx \frac{2\pi}{B} \delta$

$$\phi = \frac{Q}{2\pi} \frac{2\pi}{B} \delta \frac{\sinh \frac{2\pi}{B} x}{\cosh \frac{2\pi}{B} x - \cos \frac{2\pi}{B} y}$$

$\frac{Q}{2\pi} \frac{2\pi}{B} \delta = m$ = dipool moment.

$$\phi = \frac{m}{2\pi} \frac{\sinh \frac{2\pi}{B} x}{\cosh \frac{2\pi}{B} x - \cos \frac{2\pi}{B} y}$$

$$\psi_{\text{dipool}} = \psi_{\text{brou}} + \psi_{\text{put}}$$

$$\begin{aligned}\psi_{\text{dipool}} = & - \frac{Q}{2\pi} \arctan \frac{\sinh \frac{\pi}{B}(x+\delta) \cos \frac{\pi}{B}y}{\cosh \frac{\pi}{B}(x+\delta) \sin \frac{\pi}{B}y} + \\ & + \frac{Q}{2\pi} \arctan \frac{\sinh \frac{\pi}{B}(x-\delta) \cos \frac{\pi}{B}y}{\cosh \frac{\pi}{B}(x-\delta) \sin \frac{\pi}{B}y}\end{aligned}$$

$$\begin{aligned}\psi = & - \frac{Q}{2\pi} \arctan \left\{ \tanh \frac{\pi}{B}(x+\delta) \cotg \frac{\pi}{B}y \right\} + \frac{Q}{2\pi} \times \\ & \times \arctan \left\{ \tanh \frac{\pi}{B}(x-\delta) \cotg \frac{\pi}{B}y \right\}.\end{aligned}$$

$$\begin{aligned}\psi = & - \frac{Q}{2\pi} \frac{2\pi}{B} \delta \left\{ \underbrace{\arctan [\tanh \frac{\pi}{B}(x+\delta) \cotg \frac{\pi}{B}y]}_{\delta \rightarrow 0} - \arctan [\tanh \frac{\pi}{B}(x-\delta) \cotg \frac{\pi}{B}y] \right. \\ & \left. \frac{2\pi}{B} \delta \right\} \\ & \frac{f(x+\delta) - f(x)}{\delta} = \frac{\partial f(x)}{\partial x}.\end{aligned}$$

$$\frac{Q}{2\pi} \frac{2\pi}{B} \delta = m = \text{dipoolmoment}.$$

$$\begin{aligned}\psi = & - \frac{m}{2\pi} \frac{\frac{1}{\cosh^2 \frac{\pi}{B}x} \cotg \frac{\pi}{B}y}{1 + \tanh^2 \frac{\pi}{B}x \ cotg^2 \frac{\pi}{B}y}.\end{aligned}$$

$$\text{teller en noemer } \times \cosh^2 \frac{\pi}{B}x \sin^2 \frac{\pi}{B}y \Rightarrow$$

$$\psi = - \frac{m}{2\pi} \frac{\sin \frac{\pi}{B}y \cos \frac{\pi}{B}y}{\cosh^2 \frac{\pi}{B}x \sin^2 \frac{\pi}{B}y + \sinh^2 \frac{\pi}{B}x \cos^2 \frac{\pi}{B}y}$$

overgaan op de dubbele hoek

$$\psi = - \frac{m}{2\pi} \frac{\sin \frac{2\pi}{B}y}{\cosh \frac{2\pi}{B}x - \cos \frac{2\pi}{B}y}$$

$$U_x = \frac{\partial \psi}{\partial x} = \frac{m}{2\pi} \frac{\cosh^2 \frac{2\pi}{B}x - \cosh \frac{2\pi}{B}x \cos \frac{2\pi}{B}y - \sinh^2 \frac{2\pi}{B}x}{(\cosh \frac{2\pi}{B}x - \cos \frac{2\pi}{B}y)^2}$$

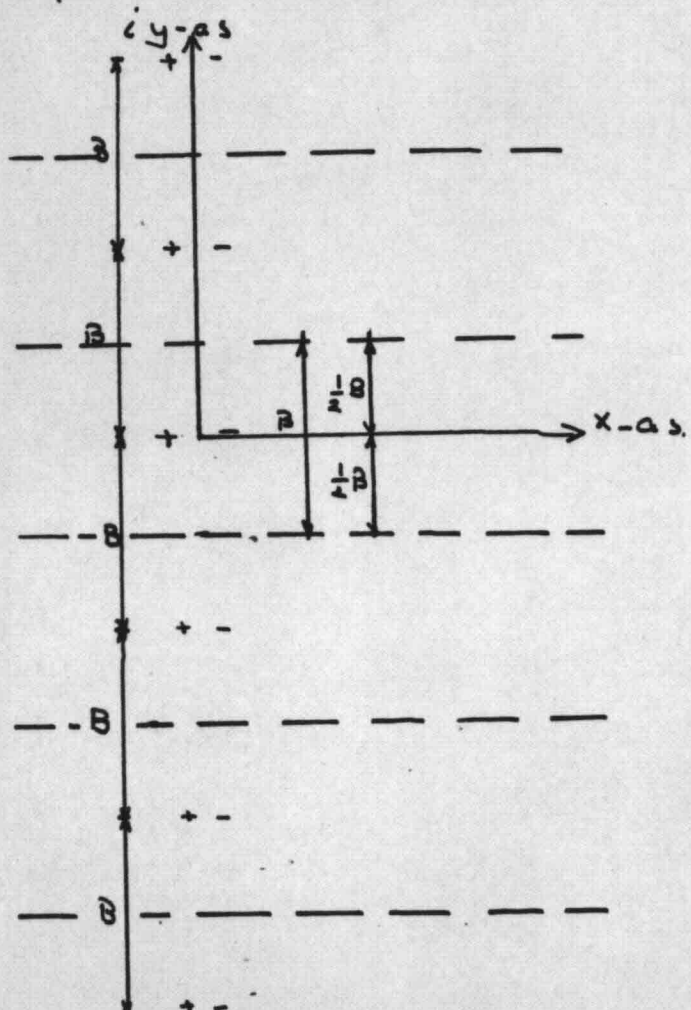
$$U_x = \frac{m}{2B} \cdot 2 \left\{ \frac{1 - \cosh \frac{2\pi}{B}x \cos \frac{2\pi}{B}y}{(\cosh \frac{2\pi}{B}x - \cos \frac{2\pi}{B}y)^2} \right\}.$$

$$u_y = \frac{\partial \phi}{\partial y}$$

$$u_y = \frac{m}{2\pi} \frac{2\pi}{B} + \frac{\sinh \frac{2\pi}{B}x \sin \frac{2\pi}{B}y (-1)}{(\cosh \frac{2\pi}{B}x - \cos \frac{2\pi}{B}y)^2}$$

$$u_y = - \frac{m}{2\pi} \frac{2 \sinh \frac{2\pi}{B}x \sin \frac{2\pi}{B}y}{(\cosh \frac{2\pi}{B}x - \cos \frac{2\pi}{B}y)^2}$$

Bovenstaande vergelijkingen zijn voor een dipool nog op een andere manier af te leiden. namelijk door spiegelen. Hierbij plaatst men op de y-as een oneindig groot aantal dipoelen op anderhalve afstand van B.



De complexe potentiaal van één dipool in de oorsprong is,

$$\chi = \frac{m}{2\pi \frac{B}{B} z}$$

Met meerclere dipoelen

$$\chi = \frac{m}{2\pi} \times \left(\frac{1}{\frac{\pi}{B} z_1} + \frac{1}{\frac{\pi}{B} z_2} \right)$$

$$+ \dots + \frac{1}{\frac{\pi}{B} z_n} + \dots \right)$$

$$z = x + iy.$$

$$z_1 = x + iy_1, \quad \frac{\pi}{6} |y_1 - y_2| = \pi.$$

$$z_2 = x + iy_2, \quad \frac{\pi}{6} |y_2 - y_{n-1}| = \pi$$

$$\vdots \quad \vdots \quad \vdots$$

$$z_n = x + iy_n.$$

$$\begin{aligned} X &= \frac{m}{2\pi} \times \frac{1}{\frac{\pi}{6}(x+iy)} + \frac{m}{2\pi} \frac{1}{\frac{\pi}{6}(x+i(y-\pi))} + \dots \\ &\quad + \frac{m}{2\pi} \frac{1}{\frac{\pi}{6}(x+i(y-n\pi))} + \frac{m}{2\pi} \frac{1}{\frac{\pi}{6}(x+i(y+n\pi))} + \dots + \frac{m}{2\pi} \frac{1}{\frac{\pi}{6}(x+i(y+(n+1)\pi))} \end{aligned}$$

$$X = \frac{m}{2\pi} \times \left\{ \frac{1}{\frac{\pi}{6}(x+iy)} + \sum_{n=1}^{\infty} \frac{1}{\frac{\pi}{6}(x+y+i(y-n\pi))} + \frac{1}{\frac{\pi}{6}(x+y+i(y+n\pi))} \right\}$$

$$X = \frac{m}{2\pi} \times \left\{ \frac{1}{\frac{\pi}{6}z} + \sum_{n=1}^{\infty} \left\{ \frac{1}{\frac{\pi}{6}(z-i(n\pi))} + \frac{1}{\frac{\pi}{6}(z+i(n\pi))} \right\} \right\}$$

$$X = \frac{m}{2\pi} \times \frac{1}{i\frac{\pi}{6}z} \left\{ z/i\pi + \sum_{n=1}^{\infty} \left(\frac{1}{z/i\pi-n} + \frac{1}{z/i\pi+n} \right) \right\}$$

$$\frac{1}{i}\left\{ \frac{1}{z/i\pi} + \sum_{n=1}^{\infty} \left(\frac{1}{z/i\pi-n} + \frac{1}{z/i\pi+n} \right) \right\} = \pi \cot \gamma \frac{\pi z}{6}/i\pi$$

$$X = \frac{m}{2\pi} \frac{1}{i\pi} \pi \cot \gamma \frac{\pi z}{6}/i\pi \quad z = x + iy$$

$$\frac{\pi y}{6} = x/i + \gamma.$$

$$X = -\frac{m}{2\pi} i \cot \gamma \frac{\pi}{6} (x + iy)$$

$$X = -\frac{m}{2\pi} i \frac{\cos \frac{\pi}{6} (\frac{x}{i} + y)}{\sin \frac{\pi}{6} (\frac{x}{i} + y)} = -\frac{m}{2\pi} i \frac{\cos \pi/6 z/i}{\sin \pi/6 z/i}$$

$$X = -\frac{m}{2\pi} i \frac{e^{i\pi/6 \frac{z}{i}} + e^{-i\pi/6 \frac{z}{i}}}{e^{i\pi/6 \frac{z}{i}} - e^{-i\pi/6 \frac{z}{i}}} = +\frac{m}{2\pi} \frac{e^{\pi/6 z} + e^{-\pi/6 z}}{e^{\pi/6 z} - e^{-\pi/6 z}}$$

$$X = \frac{m}{2\pi} \frac{\cosh \frac{\pi i}{\Delta} z}{\sinh \frac{\pi i}{\Delta} z} = \frac{m}{2\pi} \frac{\cosh \frac{\pi}{\Delta} (x + iy)}{\sinh \frac{\pi}{\Delta} (x + iy)}$$

$$X = \frac{m}{2\pi} \frac{\cosh \frac{\pi}{B} x \cos \frac{\pi}{B} y + i \sinh \frac{\pi}{B} x \sin \frac{\pi}{B} y}{\sinh \frac{\pi}{B} x \cos \frac{\pi}{B} y + i \cosh \frac{\pi}{B} x \sin \frac{\pi}{B} y}.$$

$$\text{teller en noemer } x \sinh \frac{\pi}{B} x \cos \frac{\pi}{B} y - c \cosh \frac{\pi}{B} x \sin \frac{\pi}{B} y$$

$$\chi = \frac{m}{2\pi} \frac{\cos^4 \frac{\pi}{B} x \sin^4 \frac{\pi}{B} x - i \sin^4 \frac{\pi}{B} y \cos^4 \frac{\pi}{B} y}{\sin^4 \frac{\pi}{B} x + \sin^4 \frac{\pi}{B} y}.$$

$$\text{De noemer } \sin^2 \frac{\pi}{\beta} x + \sin^2 \frac{\pi}{\beta} y =$$

$$\cosh^2 \frac{\pi}{B} x - 1 + 1 - \cos^2 \frac{\pi}{B} y = \cosh^2 \frac{\pi}{B} x - \cos^2 \frac{\pi}{B} y.$$

$$\phi = \text{Re. oleal}$$

$\psi = \text{Im} g \cdot \text{alee!}$

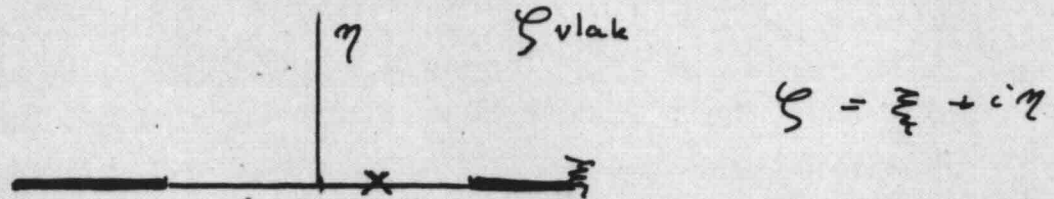
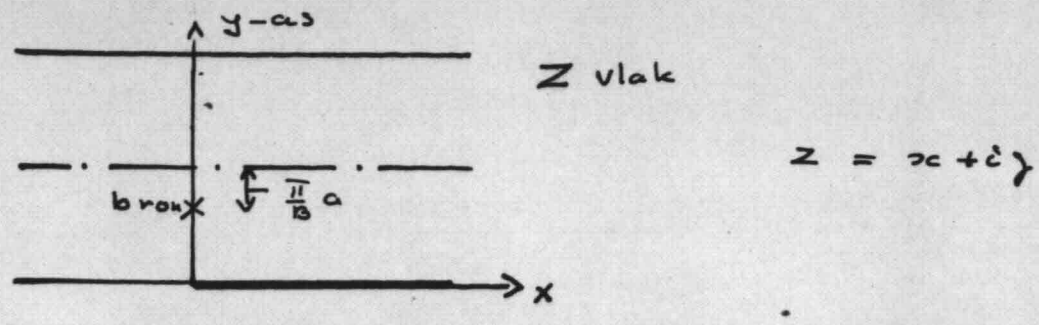
$$\phi = \frac{m}{2\pi} \frac{\cosh \frac{\pi}{\beta} x \sinh \frac{\pi}{\beta} y}{\cosh^2 \frac{\pi}{\beta} x - \cos^2 \frac{\pi}{\beta} y} = \frac{m}{2\pi} \underbrace{\frac{\sinh \frac{2\pi}{\beta} x}{\cosh \frac{2\pi}{\beta} x - \cos \frac{2\pi}{\beta} y}}_{\text{Equation 1}}$$

$$\psi = -\frac{m}{2\pi} \frac{\sin \frac{\pi}{n} y \cos \frac{\pi}{n} y}{\cosh^2 \frac{\pi}{n} x - \cos^2 \frac{\pi}{n} y}, \quad = -\overbrace{\frac{m}{2\pi}}^{\text{constant}} \frac{\sin \frac{2\pi}{n} y}{\cosh \frac{2\pi}{n} x - \cos \frac{\pi}{n} y}$$

Deze waarden van ϕ en ψ voor een alipool
zijn veels. eerder gevonden (zie uitkomst
blz. 9. en 10. van deze bijlage).

Bepaling van de stroom en potentiaal functie
van een bron die op een afstand $\frac{H}{2}$ o.l.v.
de as van het kanaal geplaatst is.

Dit is ook met behulp van de transformatie $\xi = 2 \cosh \frac{z}{2}$ gedaan waarin $z = x + iy$.



$$\sigma = 2 \cosh \frac{\pi}{B} z = 2 \cosh \frac{\pi}{B} (x + iy) = \\ 2 \left(\cosh \frac{\pi}{B} x \cos \frac{\pi}{B} y + i \sinh \frac{\pi}{B} x \sin \frac{\pi}{B} y \right).$$

$$\text{bron } x=0 \quad y = \frac{\pi}{B} (1/2 B - a)$$

$$\xi + iy = 2 \left\{ \underbrace{\cosh 0 \cos \frac{\pi}{B} (1/2 B - a)}_{\text{"1}} + i \underbrace{\sinh 0 \sin \frac{\pi}{B} (1/2 B - a)}_{\text{"0}} \right\}$$

$$\xi + iy = 2 \cos \frac{\pi}{B} (1/2 B - a).$$

Hieruit volgt dat de bron in ξ -vlak afgebeeld wordt in het punt.

$$\xi = 2 \cos \frac{\pi}{B} \left(\frac{1}{2} B - a \right), \quad \eta = 0.$$

$$\xi = 2 \cos \frac{\pi}{B} \left(\frac{1}{2} B - a \right) = 2 \cos \left(\frac{1}{2} \pi - a \frac{\pi}{B} \right)$$

$$= 2 \underbrace{\cos \frac{\pi}{2}}_0 \cos \frac{\pi}{B} a + \underbrace{\sin \frac{\pi}{2}}_1 \sin \frac{\pi}{B} a$$

$\xi = 2 \sin \frac{\pi}{B} a \quad \eta = 0$ is de plaats van de bron in het ξ vlak

De complexe potentiaal van bron is

$$\chi = \frac{q}{2\pi} \ln \left(\xi - 2 \sin \frac{\pi}{B} a + iy \right)$$

$$\xi = 2 \cosh \frac{\pi}{B} z$$

$$\xi = \xi + i\eta, \quad z = x + iy.$$

$$\xi + i\eta = 2 \cosh \frac{\pi}{B} (x + iy)$$

$$\xi + i\eta = 2 \cosh \frac{\pi}{B} x \cos \frac{\pi}{B} y + 2i \sinh \frac{\pi}{B} x \sin \frac{\pi}{B} y.$$

$$\xi = 2 \cosh \frac{\pi}{B} x \cos \frac{\pi}{B} y$$

$$\eta = 2 \sinh \frac{\pi}{B} x \sin \frac{\pi}{B} y.$$

$$X = \frac{Q}{2\pi} \ln (\xi - 2 \sin \frac{\pi}{B} a + i\eta)$$

$$X = \frac{Q}{2\pi} \ln 2 \underbrace{(\cosh \frac{\pi}{B} x \cos \frac{\pi}{B} y - \sin \frac{\pi}{B} a)}_{\text{Reel. deel.}} + \underbrace{i \sinh \frac{\pi}{B} x \sin \frac{\pi}{B} y}_{\text{Img. deel.}}$$

$$\phi = \frac{Q}{2\pi} \frac{1}{2} \ln 4 \{ (\cosh \frac{\pi}{B} x \cos \frac{\pi}{B} y - \sin \frac{\pi}{B} a)^2 + \sinh^2 \frac{\pi}{B} x \sin^2 \frac{\pi}{B} y \}$$

$$\psi = \frac{Q}{2\pi} \arctan \frac{\sinh \frac{\pi}{B} x \sin \frac{\pi}{B} y}{\cosh \frac{\pi}{B} x \cos \frac{\pi}{B} y - \sin \frac{\pi}{B} a}$$

$$\text{voor } a=0 \rightarrow \sin \frac{\pi}{B} a = 0 \rightarrow \phi_{\text{brouw}} \text{ en } \psi_{\text{brouw}}$$

geplaatst in het midden
van het kanaal.

$$U_x = \frac{Q}{2B} \left[\frac{(\cosh \frac{\pi}{B} x \cos \frac{\pi}{B} y - \sin \frac{\pi}{B} a) \sinh \frac{\pi}{B} x \cos \frac{\pi}{B} y}{\{(\cosh \frac{\pi}{B} x \cos \frac{\pi}{B} y - \sin \frac{\pi}{B} a)^2 + \sinh^2 \frac{\pi}{B} x \sin^2 \frac{\pi}{B} y\}} + \right. \\ \left. \frac{\sinh \frac{\pi}{B} x \cosh \frac{\pi}{B} x \sin^2 \frac{\pi}{B} y}{\{(\cosh \frac{\pi}{B} x \cos \frac{\pi}{B} y - \sin \frac{\pi}{B} a)^2 + \sinh^2 \frac{\pi}{B} x \sin^2 \frac{\pi}{B} y\}} \right]$$

$$U_x = \frac{Q}{2B} \frac{\cosh \frac{\pi}{B} x \sinh \frac{\pi}{B} x - \sinh \frac{\pi}{B} x \sin \frac{\pi}{B} a \cos \frac{\pi}{B} y}{(\cosh \frac{\pi}{B} x \cos \frac{\pi}{B} y - \sin \frac{\pi}{B} a)^2 + \sinh^2 \frac{\pi}{B} x \sin^2 \frac{\pi}{B} y}$$

$$u_y = \frac{Q}{2B} \left[\frac{(\cosh \frac{\pi}{B} x \cos \frac{\pi}{B} y - \sin \frac{\pi}{B} a) \cosh \frac{\pi}{B} x (-\sin \frac{\pi}{B} y)}{\{(\cosh \frac{\pi}{B} x \cos \frac{\pi}{B} y - \sin \frac{\pi}{B} a)^2 + \sinh^2 \frac{\pi}{B} x \sin^2 \frac{\pi}{B} y\}} + \right.$$

$$\left. \frac{\sinh^2 \frac{\pi}{B} x \sin \frac{\pi}{B} y \cos \frac{\pi}{B} y}{\{(\cosh \frac{\pi}{B} x \cos \frac{\pi}{B} y - \sin \frac{\pi}{B} a)^2 + \sinh^2 \frac{\pi}{B} x \sin^2 \frac{\pi}{B} y\}} \right]$$

$$u_y = \frac{Q}{2B} \frac{-\sin \frac{\pi}{B} y \cos \frac{\pi}{B} y + \cosh \frac{\pi}{B} x \sin \frac{\pi}{B} a \sin \frac{\pi}{B} y}{(\cosh \frac{\pi}{B} x \cos \frac{\pi}{B} y - \sin \frac{\pi}{B} a)^2 + \sinh^2 \frac{\pi}{B} x \sin^2 \frac{\pi}{B} y}$$

Verplaatsing van het assenkerus naar het midden van het kanaal geeft de volgende formules

$$\phi = \frac{Q}{2\pi} \frac{1}{2} \ln 4 \{ (\cosh \frac{\pi}{B} x \sin \frac{\pi}{B} y + \cos \frac{\pi}{B} a)^2 + \sinh^2 \frac{\pi}{B} x \cos^2 \frac{\pi}{B} y \}$$

$$\psi = -\frac{Q}{2\pi} \arctan \frac{\sinh \frac{\pi}{B} x \cos \frac{\pi}{B} y}{\cosh \frac{\pi}{B} x \sin \frac{\pi}{B} y + \cos \frac{\pi}{B} a}$$

$$u_x = \frac{Q}{2B} \frac{\cosh \frac{\pi}{B} x \sinh \frac{\pi}{B} x + \sinh \frac{\pi}{B} x \cos \frac{\pi}{B} a \sin \frac{\pi}{B} y}{(\cosh \frac{\pi}{B} x \cos \frac{\pi}{B} y + \cos \frac{\pi}{B} a)^2 + \sinh^2 \frac{\pi}{B} x \cos^2 \frac{\pi}{B} y}$$

$$u_y = \frac{Q}{2B} \frac{\sin \frac{\pi}{B} y \cos \frac{\pi}{B} y + \cosh \frac{\pi}{B} x \cos \frac{\pi}{B} a \cos \frac{\pi}{B} y}{(\cosh \frac{\pi}{B} x \cos \frac{\pi}{B} y + \cos \frac{\pi}{B} a)^2 + \sinh^2 \frac{\pi}{B} x \cos^2 \frac{\pi}{B} y}$$

Voor water met een onbegrensd looptrechte zijn de stroom- en potentiaal functies voor een bron en een wervel van de volgende gedaante

$$\phi_{bron} = \frac{Q}{2\pi} \ln \sqrt{x^2 + y^2}$$

$$\psi_{wervel} = -\frac{\Gamma}{2\pi} \ln \sqrt{x^2 + y^2} \quad \Gamma = \text{wervelsterkte}$$

$$\psi_{bron} = \frac{Q}{2\pi} \arctan \frac{y}{x} \quad \phi_{wervel} = \frac{\Gamma}{2\pi} \arctan \frac{y}{x}$$

$$u_x = \frac{\partial \phi}{\partial x} = \frac{\partial \psi}{\partial y}$$

$$u_y = \frac{\partial \phi}{\partial y} = - \frac{\partial \psi}{\partial x}$$

$$u_{x \text{ bron}} = \frac{\partial \phi_{\text{bron}}}{\partial x} = \frac{c}{2\pi} \frac{x}{x^2+y^2}$$

$$u_{y \text{ bron}} = \frac{\partial \phi_{\text{bron}}}{\partial y} = \frac{c}{2\pi} \frac{y}{x^2+y^2}$$

$$u_{x \text{ wervel}} = \frac{\partial \psi_{\text{wervel}}}{\partial y} = - \frac{r}{2\pi} \frac{y}{x^2+y^2}$$

$$u_{y \text{ wervel}} = - \frac{\partial \psi_{\text{wervel}}}{\partial x} = + \frac{r}{2\pi} \frac{x}{x^2+y^2}$$

$$\text{stel } \frac{c}{2\pi} = C \cdot \frac{r}{2\pi}$$

Dan is

$$\frac{1}{c} \cdot u_{y \text{ bron}} = - u_{x \text{ wervel}}$$

$$\frac{1}{c} u_{x \text{ bron}} = + u_{y \text{ wervel}}$$

$$\phi = \int u_x dx = - \int u_y dy$$

$$\psi = \int u_y dy = \int u_x dx$$

$$\frac{1}{c} \phi_{\text{bron}} = \frac{1}{c} \int u_{x \text{ bron}} dx = \int u_{y \text{ wervel}} dx = - \psi_{\text{wervel}}$$

$$\frac{1}{c} \psi_{\text{bron}} = \frac{1}{c} \int - u_{y \text{ bron}} dx = \int u_{x \text{ wervel}} dx = + \phi_{\text{wervel}}$$

Uit bovenstaande volgt dat als de potentiaal- en stroomfunctie van een bron bekend is, ook de potentiaal- en stroomfunctie van een wervel in hetzelfde punt bekend zijn.

$$\phi_{\text{wervel}} = +\frac{1}{c} \psi_{\text{bron}}$$

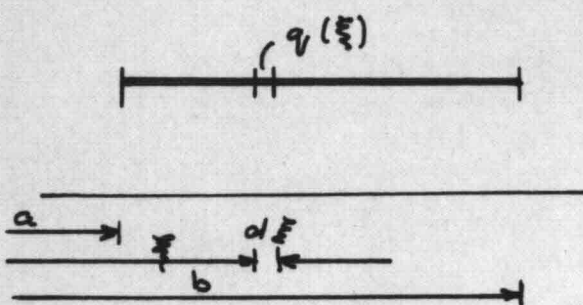
$$\psi_{\text{wervel}} = -\frac{1}{c} \phi_{\text{bron}} \quad c = \frac{\alpha}{r}$$

Voor een bron in een kanaal met breedte B
gelozen de volgende potentiaal- en stroomfunctie.

$$\phi_{\text{bron}} = \frac{\alpha}{2\pi} \frac{1}{2} \ln \left(\cosh^2 \frac{\pi}{B} x \sin^2 \frac{\pi}{B} y + \sinh^2 \frac{\pi}{B} x \cos^2 \frac{\pi}{B} y \right)$$

$$\psi_{\text{bron}} = -\frac{\alpha}{2\pi} \arctan \frac{\sinh \frac{\pi}{B} x \cos \frac{\pi}{B} y}{\cosh \frac{\pi}{B} x \sin \frac{\pi}{B} y}$$

Met bovenstaande formules kan men de stroom- en potentiaalfunctie bepalen van een continue putten en bronnenverdeling.



Een voorwaarde voor een gesloten contour is dat de $\int_a^b d\xi q(\xi) = 0$ geldt.

$$\phi = \frac{1}{2\pi} \int_a^b d\xi q(\xi) \frac{1}{2} \ln \left\{ \cosh^2 \frac{\pi}{B} (x - \xi) \sin^2 \frac{\pi}{B} y + \sinh^2 \frac{\pi}{B} (x - \xi) \cos^2 \frac{\pi}{B} y \right\}$$

$$\psi = -\frac{1}{2\pi} \int_a^b d\xi q(\xi) \arctan \frac{\sinh \frac{\pi}{B} (x - \xi) \cos \frac{\pi}{B} y}{\cosh \frac{\pi}{B} (x - \xi) \sin \frac{\pi}{B} y}$$

Stroomlijn door het stuwpunt op de x-as
 $x = x_{st} \quad y = 0$

Door dit stuwpunt gaat de stroomlijn die de contour voorstelt, die ontstaat door de putten en bronnenverdeling.

$$\psi_c = -\frac{1}{2\pi} \int_a^b d\xi q(\xi) \arctan \underbrace{\frac{\sinh \frac{\pi}{B}(x_{st} - \xi)}{\cosh \frac{\pi}{B}(x_{st} - \xi)}}_0$$

$$\arctan \infty = \frac{\pi}{2}$$

$$\psi_c = -\frac{1}{2\pi} \int_a^b d\xi q(\xi)$$

$\int_a^b d\xi q(\xi) = 0$ voorwaarde voor een gesloten contour

$$\psi_c = -\frac{1}{2\pi} \int_a^b d\xi q(\xi) \cdot 0 = 0$$

$$\psi_c = \frac{\partial}{\partial x} \int_a^b d\xi q(\xi) \arctan \frac{\sinh \frac{\pi}{B}(x_c - \xi) \cos \frac{\pi}{B} y_c}{\cosh \frac{\pi}{B}(x_c - \xi) \sin \frac{\pi}{B} y_c} = 0.$$

Samenvattung van de afgeleide formules

par. stroom.

$$\phi = U_x$$

$$\psi = U_y$$

bron

$$\phi = \frac{Q}{2\pi} \frac{1}{2} \ln \left(\cosh^2 \frac{\pi}{B} x \sin^2 \frac{\pi}{B} y + \sinh^2 \frac{\pi}{B} x \cos^2 \frac{\pi}{B} y \right)$$

of

$$\phi = \frac{Q}{2\pi} \frac{1}{2} \ln \frac{1}{2} \left(\cosh \frac{2\pi}{B} x - \cos \frac{2\pi}{B} y \right).$$

$$\psi = -\frac{Q}{2\pi} \arctan \frac{\sinh \frac{\pi}{B} x \cos \frac{\pi}{B} y}{\cosh \frac{\pi}{B} x \sin \frac{\pi}{B} y}$$

$$U_x = \frac{Q}{2B} \frac{\sinh \frac{2\pi}{B} x}{\cosh \frac{2\pi}{B} x - \cos \frac{2\pi}{B} y}$$

$$U_y = \frac{Q}{2B} \frac{\sin \frac{2\pi}{B} y}{\cosh \frac{2\pi}{B} x - \cos \frac{2\pi}{B} y}$$

Dipool

$$\phi = \frac{m}{2\pi} \frac{\sinh \frac{2\pi}{B} x}{\cosh \frac{2\pi}{B} x - \cos \frac{2\pi}{B} y}$$

$$\psi = - \frac{m}{2\pi} \frac{\sin \frac{2\pi}{B} y}{\cosh \frac{2\pi}{B} x - \cos \frac{2\pi}{B} y}$$

$$u_x = \frac{m}{2B} \frac{1 - \cosh \frac{2\pi}{B} x \cos \frac{2\pi}{B} y}{(\cosh \frac{2\pi}{B} x - \cos \frac{2\pi}{B} y)^2}$$

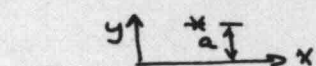
$$u_y = - \frac{m}{2B} \frac{\sinh \frac{2\pi}{B} x \sin \frac{2\pi}{B} y}{(\cosh \frac{2\pi}{B} x - \cos \frac{2\pi}{B} y)^2}$$

Wervel.

$$\phi = - \frac{1}{2\pi} \arctan \frac{\sinh \frac{\pi}{B} x \cos \frac{\pi}{B} y}{\cosh \frac{\pi}{B} x \sin \frac{\pi}{B} y}$$

$$\psi = - \frac{1}{2\pi} \frac{1}{2} \ln (\cosh^2 \frac{\pi}{B} x \sin^2 \frac{\pi}{B} y + \sinh^2 \frac{\pi}{B} x \cos^2 \frac{\pi}{B} y).$$

Bron op afstand $y = +a$



$$\phi = \frac{\varphi}{2\pi} \frac{1}{2} \ln 4 \left\{ (\cosh \frac{\pi}{B} x \sin \frac{\pi}{B} y + \cos \frac{\pi}{B} a)^2 + \sinh^2 \frac{\pi}{B} x \cos^2 \frac{\pi}{B} y \right\}$$

$$\psi = - \frac{\varphi}{2\pi} \arctan \frac{\sinh \frac{\pi}{B} x \cos \frac{\pi}{B} y}{\cosh \frac{\pi}{B} x \sin \frac{\pi}{B} y + \cos \frac{\pi}{B} a}$$

$$u_x = \frac{\varphi}{2B} \frac{\cosh \frac{\pi}{B} x \sinh \frac{\pi}{B} x + \sinh \frac{\pi}{B} x \cos \frac{\pi}{B} a \sin \frac{\pi}{B} y}{(\cosh \frac{\pi}{B} x \cos \frac{\pi}{B} y + \cos \frac{\pi}{B} a)^2 + \sinh^2 \frac{\pi}{B} x \cos^2 \frac{\pi}{B} y}$$

$$u_y = \frac{\varphi}{2B} \frac{\sin \frac{\pi}{B} y \cos \frac{\pi}{B} y + \cosh \frac{\pi}{B} x \cos \frac{\pi}{B} a \cos \frac{\pi}{B} y}{(\cosh \frac{\pi}{B} x \cos \frac{\pi}{B} y + \cos \frac{\pi}{B} a)^2 + \sinh^2 \frac{\pi}{B} x \cos^2 \frac{\pi}{B} y}$$

Continue verdeling van putten en bronnen

$$\int_a^b d\xi q(\xi) = 0$$

dit is een noodzakelijke voorwaarde voor een gesloten contour.

$$\phi = \frac{1}{2\pi} \int_a^b d\xi q(\xi) \left[\ln \left\{ \cosh^2 \frac{\pi}{B}(x-\xi) \right\} \sin^2 \frac{\pi}{B} y + \sinh^2 \frac{\pi}{B}(x-\xi) \cos^2 \frac{\pi}{B} y \right]$$

$$\psi = -\frac{1}{2\pi} \int_a^b d\xi q(\xi) \arctan \frac{\sin \frac{\pi}{B}(x-\xi) \cos \frac{\pi}{B} y}{\cosh \frac{\pi}{B}(x-\xi) \sin \frac{\pi}{B} y}$$

Bijlage II.

Vergelijkingen.

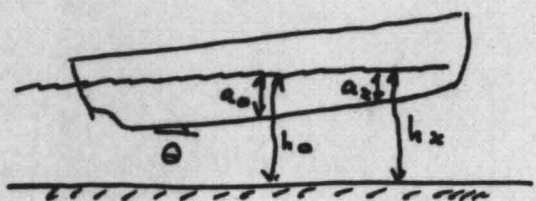
Het schip voert met constante snelheid.

Waterhoogte in het kanaal is constant.

Dwarsprofiel van het kanaal blijft constant.

Assentruis beweegt met het schip mee.

Nu heeft men te doen met een permanente toestand d.w.z. $\frac{\partial \dots}{\partial t} = 0$.



a_0 oliestraging in het midden van het schip.

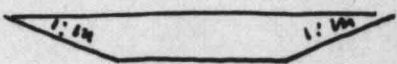
h_0 waterdiepte t.p.v. het scheepsmidden

Θ = (hellinghoek) trimhoek

a_x en h_x de mater op een afstand x uit het midden van het schip.

$$h_x - a_x = h_0 - a_0 + \Theta \cdot x$$

$$a_x = h_x - h_0 + a_0 - \Theta \cdot x$$



F_x = dwarsprofiel kanaal

$$F_x = (b + m \cdot h_x) h_x$$

a_s = breedte van het schip

F_{x+s} met schip erbij. = natte oppervlak

$$F_x = (b + m \cdot h_x) h_x - b_s (h_x - h_0 + a_0 - \Theta \cdot x)$$

$$F(x + \alpha x) = \left\{ b + m \left(h_x + \frac{\partial h_x}{\partial x} \cdot \alpha x \right) \right\} \left(h_x + \frac{\partial h_x}{\partial x} \cdot \alpha x \right) +$$

$$- b_s \left\{ h_x + \frac{\partial h_x}{\partial x} \cdot \alpha x - h_0 + a_0 - \Theta (x + \alpha x) \right\}$$

Continuiteitsvergelijking.

$$F_x \cdot V_x = F(x + dx) (V_x + \frac{\partial V_x}{\partial x} \cdot dx).$$

$$(b + m h_x) h_x V_x - b_s (h_x - h_0 + a - \Theta \cdot x) V_x = (V_x + \frac{\partial V_x}{\partial x} \cdot dx)_x \\ \times \left[\{ b + m (h_x + \frac{\partial h_x}{\partial x} \cdot dx) \} (h_x + \frac{\partial h_x}{\partial x} \cdot dx) - b_s \{ h_x + \frac{\partial h_x}{\partial x} \cdot dx - h_0 + a_0 + \right. \\ \left. - \Theta \cdot x - dx - \Theta \} \right].$$

uit gewerkt.

$$(b V_x + 2 m h_x V_x - V_x b_s) \frac{\partial h_x}{\partial x} + (b h_x + m h_x^2 - b_s a_0 + \\ + b_s \Theta \cdot x - b_s h_x + b_s h_0) \frac{\partial V_x}{\partial x} = - b_s \Theta V_x$$

Vlugger geeft de vergelijking $\frac{dQ}{dx} = 0$ hetzelfde resultaat.

$$Q = (b + m h_x) h_x V_x - b_s (h_x - h_0 + a_0 - \Theta \cdot x) V_x.$$

Over een lengte dx wordt door het schip de volgende hoeveelheid water verplaatst.

$$\frac{(a)_x + (a)_{x+dx}}{2} \cdot b_s \cdot dx.$$

$$= \frac{h_x - h_0 + a_0 - \Theta \cdot x + h_x + \frac{\partial h_x}{\partial x} dx - h_0 + a_0 - \Theta \cdot x - \Theta \cdot dx}{2} \cdot b_s \cdot dx$$

$$= \{ h_x + a_0 - h_0 - \Theta \cdot x + \frac{1}{2} \frac{\partial h_x}{\partial x} dx - \frac{1}{2} \Theta \cdot dx \} \cdot b_s \cdot dx$$

Dit geeft een druk op de bodem groot
 $\rho g \times$ verplaatste water.

$$\text{druk} = \rho g \{ h_x - h_0 + a_0 - \Theta \cdot x + \frac{1}{2} \frac{\partial h_x}{\partial x} dx - \frac{1}{2} \Theta \cdot dx \} b_s \cdot dx$$

$$\text{hor. comp} = \rho g \Theta \{ h_x - h_0 + a_0 - \Theta \cdot x + \frac{1}{2} \frac{\partial h_x}{\partial x} dx - \frac{1}{2} \Theta \cdot dx \} b_s \cdot dx.$$

De hydrostatische druk op de zijkant van een water moet je zijn. $\frac{1}{6} \rho g h_x^2 (3b + 2m \cdot h_x) - \underbrace{\frac{1}{2} \rho g b_s \alpha_x^2}_{t.g.v. schip}$. druk op afstand $x + dx$.

$$\frac{1}{6} \rho g \left(h_x + \frac{\partial h_x}{\partial x} dx \right)^2 \left\{ 3b + 2m \left(h_x + \frac{\partial h_x}{\partial x} dx \right) \right\} + \\ - \frac{1}{2} \rho g b_s \left(h_x + \frac{\partial h_x}{\partial x} dx - h_0 + \alpha_0 - \Theta \cdot x - (\Theta \cdot dx) \right)^2$$

Resulterende druk →

$$dx \rho g \left(-h_x^2 \cdot m \cdot \frac{\partial h_x}{\partial x} - h_x \cdot b \cdot \frac{\partial h_x}{\partial x} + b_s \cdot A^2 \cdot x - b_s \cdot \Theta \cdot \alpha_0 + \right. \\ \left. + b_s \cdot \alpha_0 \cdot \frac{\partial h_x}{\partial x} - b_s \cdot \Theta \cdot x \cdot \frac{\partial h_x}{\partial x} - b_s \Theta h_x + b_s h_x \frac{\partial h_x}{\partial x} + \right. \\ \left. - b_s \cdot h_0 \cdot \frac{\partial h_x}{\partial x} + b_s h_0 \Theta \right)$$

Wrijving langs het schip. c_s (Chezy coëfficient).

$$K = -\rho g \frac{V_x |V_x|}{c_s^2} dx (b_s + 2h_x - 2h_0 + 2\alpha_0 - 2\Theta \cdot x) \\ = -\rho g \frac{V_x |V_x|}{c_s^2} dx O_s \\ O_s = b_s + 2h_x - 2h_0 + 2\alpha_0 - 2\Theta \cdot x$$

Wrijving langs de bodem.

Assenturuis beweegt zich met een snelheid V_x t.o.v. de bodem.

Watersnelheid langs de bodem is $V_x - V_i$

$$K = -\rho g \frac{(V_x - V_i) |V_x - V_i|}{c_b^2} dx (b + 2h_x \cdot \sqrt{m^2 + 1}) \\ = -\rho g \frac{(V_x - V_i) |V_x - V_i|}{c_b^2} dx O_b \\ O_b = b + 2h_x \cdot \sqrt{m^2 + 1}$$

Totale horizontale kracht.

$$\begin{aligned} d\alpha \rho g \{ (h_x - h_0 + a_0 - \Theta z) A \cdot b_s - h_x^2 m \frac{dh_x}{dx} - h_x b \frac{\partial h_x}{\partial z} \\ + b_s A^2 z - b_s A a_0 + b_s a_0 \frac{\partial h_x}{\partial x} - b_s \Theta z \frac{\partial h_x}{\partial x} - b_s A h_x + \\ + b_s h_x \frac{\partial h_x}{\partial z} - b_s h_0 \frac{\partial h_x}{\partial z} + b_s h_0 A - \frac{V_x | V_x |}{c_s^2} O_s - \frac{(V_x - V_i) | V_x - V_i |}{c_b^2} O_b \} \\ K_{tot} = -\rho g dz \underbrace{[\{ (b + m h_x) h_x - b_s (h_x - h_0 + a_0 - \Theta z) \} \frac{\partial h_x}{\partial x} + } \\ + \frac{V_x | V_x |}{c_s^2} O_s + \frac{(V_x - V_i) | V_x - V_i |}{c_b^2} O_b] \end{aligned}$$

$$\frac{K_{tot}}{\rho} = -\rho g dz \{ \frac{\partial h_x}{\partial x} + \frac{V_x | V_x |}{c_s^2 R_s} + \frac{(V_x - V_i) | V_x - V_i |}{c_b^2 R_b} \}$$

$$\frac{O_s}{F} = \frac{1}{R_s} \quad \frac{O_b}{F} = \frac{1}{R_b}$$

$$\begin{aligned} \frac{\partial (m.v)}{\partial t} &= [\rho \{ (b + m h_x) h_x - (h_x - h_0 + a_0 - \Theta z) b_s \} dx] x \\ &\times V_x \frac{\partial V_x}{\partial x} \\ K_{alt} &= \partial (m.v) \end{aligned}$$

$$V_x \frac{\partial V_x}{\partial z} = -g \left(\frac{\partial h_x}{\partial z} + \frac{V_x | V_x |}{c_s^2 R_s} + \frac{(V_x - V_i) | V_x - V_i |}{c_b^2 R_b} \right)$$

Stel. dat er geen wrijving is dan wordt
de vergelijking over in de volgende vorm

$$V_x \frac{\partial V_x}{\partial z} = -g \frac{\partial h_x}{\partial z}$$

$$\frac{1}{2} \frac{d(V_x^2)}{dz} + g \frac{\partial h_x}{\partial z} = 0$$

$$\text{geïntegreerd geeft } \frac{V_x^2}{2} + h_x = C$$

dit is de vergelijking van Bernoulli

Stroming bij de boeg.

Bij de boeg een gebied waar het water versnelt.

Continuiteits vergelijking en de vergelijking van Bernoulli.

Continuiteitsvergelijking.

$$\{ (b + m h) \cdot h - b_s \cdot a \} v = (b + m h_1) \cdot h_1 \cdot v_1 = CQ$$

$$\text{Bernoulli} \quad \frac{v_1^2}{2g} + h_1 = \frac{v^2}{2g} + h.$$

$$h = \frac{v_1^2 - v^2}{2g} + h_1$$

in de continuïteitsverg. gesubstitueert geeft.

$$\left[\{ b + m \left(\frac{v_1^2 - v^2}{2g} + h_1 \right) \} \left(\frac{v_1^2 - v^2}{2g} + h_1 \right) - b_s \cdot a \right] v =$$

$$(b + m h_1) \cdot h_1 \cdot v_1 = CQ$$

$$a = h - h_0 + a_0 - \Theta \cdot \frac{L}{2} = \frac{v_1^2 - v^2}{2g} + h_1 - h_0 + a_0 - \frac{\Theta \cdot L}{2}$$

waarin L de lengte van het schip is.

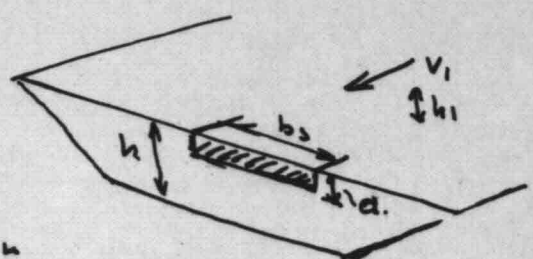
Θ = trimhoek.

a_0 = diepgang t.p.v. het scheepsmidden.

h_0 = waterstand bij het midden van het schip.

$$\left[\{ b + m \left(\frac{v_1^2 - v^2}{2g} + h_1 \right) \} \left(\frac{v_1^2 - v^2}{2g} + h_1 \right) - b_s \left\{ \frac{v_1^2 - v^2}{2g} + h_1 - h_0 + a_0 - \frac{\Theta \cdot L}{2} \right\} \right] \cdot v = CQ$$

v oplossen als $b, b_s, m, h_1, v_1, h_0, a_0, \Theta$ en L bekend zijn.



Verdrehung θ_3 die aktiver Schwenk

alboor αV^2 alboor also ohne gesetzliche Grenze

in die Längen b_3 verlängert werden V^2 + Verdrehung

$$-abs - As \gamma V^2$$

$$P_{gh} (b + nh_0) V^2 - P_{As} V^2 - P_f (b + nh_0)$$

$$= \frac{1}{6} P_{gh}^2 (3b + 2nh_0) - \frac{1}{6} P_{As}^2 (3b + 2nh_0) + k_3 =$$

$$\times h (b + nh_0) - abs - As \gamma V^2$$

$$P_{As} \alpha h_0 (b + nh_0) V^2 - P_{us} \alpha + A_s V^2 - P_{Vout} \times$$

$$= \frac{1}{6} P_{gh}^2 (3b + 2nh_0) - \frac{1}{6} P_{As}^2 (3b + 2nh_0) + k_3 \quad \text{geht}$$

$$\xrightarrow{\text{Kraft}} = \underline{\alpha (n \cdot V)}$$

Gesamtverdrehung.

A_s = aktiver Opferwinkel Schwingungsfrequenz

V^2 = schneller Schwingungszahl

$$h (b + nh_0) \alpha - b_3 \cdot a - As \gamma V + As V^2 = (b + nh_0) b_3 V^2 - a$$

Conditionierungseinstellung ist eingetragen.

Achsen schwenken.

